



ИЗДАТЕЛЬСТВО

МОСКОВСКИЙ  
АВИАЦИОННЫЙ  
ИНСТИТУТ

ШАБЛОНОВОЕ ПОСОБИЕ

Г. А. ДРЕЯЦЕР

ОСНОВЫ  
КОНВЕКТИВНОГО  
ТЕПЛООБМЕНА  
В КАНАЛАХ

МОСКВА-1989

ГОСУДАРСТВЕННЫЙ КОМИТЕТ СССР ПО НАРОДНОМУ ОБРАЗОВАНИЮ

МОСКОВСКИЙ ОРДЕНА ЛЕНИНА И ОРДЕНА ОКТЯБРЬСКОЙ РЕВОЛЮЦИИ  
АВИАЦИОННЫЙ ИНСТИТУТ имени СЕРГЕЯ ОРДОНОВИЧА

Г.А. дубайца

ОСНОВЫ КОНВЕКТИВНОГО ТЕПЛООБМЕНА В КАНАЛАХ  
Учебное пособие

Утверждено  
на заседании редсовета  
II апреля 1988 г.

Москва  
Издательство МАИ  
1989

УДК 536.27+629.7.063](075.8)

Дрейцер Г.А. Основы конвективного теплообмена в каналах: Учебное пособие. - М.: Изд-во МАИ, 1989. - 84 с.: ил.

Рассмотрены вопросы гидродинамики и теплообмена в каналах энергетических установок и теплообменных аппаратов. Приведены дифференциальные уравнения и граничные условия для конвективного теплообмена, коэффициенты теплопередачи и гидравлического сопротивления. Представлена методика расчета трения и теплообмена при изотермическом и неизотермическом течении газов и жидкостей на начальном и стабилизированном участках круглых труб. Проанализированы особенности течения и теплообмена в каналах с некруглым поперечным сечением. Даны рекомендации для расчета продольно обтекаемых пучков труб, колышевых и плоских каналов. Рассмотрены вопросы теплообмена в каналах при совместном действии вынужденной и свободной конвекции. Приведены методы расчета нестационарного теплообмена и способы интенсификации конвективного теплообмена в каналах.

Учебное пособие предназначено для студентов авиационных вузов и факультетов, изучающих курс "Теплопередача".

Рецензенты: Б.Н. Юдаев, Г.Б. Петражицкий

ISBN 5-7033-0098-6

(С) Московский авиационный институт, 19

**ВВЕДЕНИЕ**

Настоящее издание представляет собой учебное пособие по курсу "Теплопередача", который читается кафедрой авиационной тепло-техники Московского авиационного института для студентов различных факультетов МАИ. Оно дополняет существующий учебник по теплопередаче [1] и выпускаемое ранее учебное пособие [2].

Изучение процессов теплообмена в каналах весьма актуально для создания энергетических установок и теплообменных устройств летательных аппаратов, систем охлаждения элементов двигателей и летательных аппаратов, систем охлаждения и терmostатирования радиоэлектронного оборудования, систем кондиционирования летательных аппаратов. Для расчета разнообразных теплообменных устройств, применяемых в авиационной технике, необходимы данные по теплообмену и гидродинамике в каналах разной формы с разнообразными условиями входа, при различных законах подвода или отвода тепла, для жидкостей в газообразных теплоносителях с переменными теплофизическими свойствами.

В существующих учебниках по теплопередаче эта вопроса освещены недостаточно, что и явилось причиной написания данного учебного пособия. Его цель - помочь студентам понять основные особенности теплообмена и гидродинамики в каналах и выбрать нужные зависимости для практических расчетов. Для более глубокого изучения рассматриваемых вопросов можно рекомендовать монографии [3-17].

Под конвективным теплообменом (теплоотдачей конвекцией) понимают теплообмен, обусловленный совместным действием конвективного и молекулярного переноса тепла. Под конвекцией переносом понимают процесс переноса тепла при перемещении микрочастиц жидкости или газа в пространстве из области с одной температурой в область с другой температурой. Конвекция возможна только при движении среды. Перенос тепла конвекцией связан с переносом вещества. Под молекулярным переносом (теплопроводностью) понимают процесс переноса тепла посредством движения микрочастиц в среде с неоднородным распределением температуры. Конвекция тепла всегда сопровождается теплопроводностью, так как при движении жидкости или газа

избежано происходит соприкосновение отдаленных частиц, имеющих различные температуры.

Обычно в инженерных расчетах определяют конвективный теплообмен между потоком жидкости или газа и поверхностью твердого тела, называемой конвекционной теплоотдачей или просто теплоотдачей.

На практике при расчетах теплоотдачи используют закон Ньютона - Рихмана

$$Q = \alpha (T_w - T_f) F \quad \text{Вт}. \quad (1)$$

Согласно этому закону тепловой поток  $Q$  (количеству тепла, проходящему в единицу времени через произвольную поверхность от жидкости к стекне или от стекни к жидкости) пропорционален поверхности теплообмена  $F$  и разности температур поверхности тела  $T_w$  и окружающей тело жидкой или газообразной среды  $T_f$ . Разность температур  $\Delta T = T_w - T_f$  называется температурным напором. Коэффициент пропорциональности  $\alpha$ , учитывающий конкретные условия теплообмена, называется коэффициентом теплоотдачи.

В общем случае коэффициент теплоотдачи переменен по поверхности и его можно определить как

$$\alpha = dQ/(T_w - T_f) dF = q/(T_w - T_f) \quad \text{Вт}/(\text{м}^2 \cdot \text{К}). \quad (2)$$

Таким образом, коэффициент теплоотдачи есть плотность теплового потока  $q$  (теплового потока, отнесенного к единице площади поверхности) на поверхности тела, отнесенная к разности температур поверхности тела и окружающей среды.

Теплоотдача является достаточно сложным процессом. В наиболее общем случае коэффициент теплоотдачи является функцией формы в размерах тела, режима движения, скорости и температуры жидкости, физических параметров жидкости (коэффициента теплопроводности  $\lambda$ , теплопроводности  $c_p$ , плотности  $\rho$ , температуропроводности  $\alpha$ , коэффициента динамической вязкости  $\mu$ , температурного коэффициента объемного расширения  $\beta$ ) и др. Параметры  $\lambda$ ,  $\rho$ ,  $c_p$ ,  $\alpha$  используются при рассмотрении теплопроводности. Коэффициент динамической вязкости  $\mu$  является разной касательному напряжению  $\tau$  в жидкости в плоскости, ортогональной по течению, при градиенте скорости по нормали к направлению движения  $d\omega/dn$ , равном единице, т.е.

$\mu = \frac{\tau}{d\omega/dn} \text{ Н}\cdot\text{с}/\text{м}^2$ . Наряду с коэффициентом динамической вязкости  $\mu$  часто используется коэффициент кинематической вязкости  $\nu = \mu/\rho$   $\text{м}^2/\text{с}$ . Коэффициенты  $\mu$  и  $\nu$  существенно зависят от температуры. У капельных жидкостей вязкость почти не зависит от

давления и значительно уменьшается при повышении температуры. У газов  $\mu$  увеличивается с ростом температуры и практически не зависит от давления (например, при повышении давления воздуха от 0,1 до 10 МПа  $\mu$  возрастает на 10%). Коэффициент кинематической вязкости  $\nu$  обратно пропорционален плотности газа, и поэтому сильнее, чем  $\mu$ , возрастает с повышением температуры, и обратно пропорционально давлению.

Тепловое расширение жидкости характеризуется температурным коэффициентом объемного расширения  $\beta = (\partial V/\partial T)_P$ , разным относительно изменения объема  $V = 1/\rho$  при увеличении температуры на один градус и постоянном давлении. Для капельных жидкостей коэффициент  $\beta$  сравнительно мал и величиной (исключение составляет вода при  $t < 4^\circ\text{C}$ , когда  $\beta < 0$ ). Для идеального газа  $\beta = 1/T$   $1/\text{К}$ .

Процесс конвективного теплообмена зависит от природы возникновения движения жидкости. Различают вынужденную и естественную (свободную) конвекцию.

В первом случае жидкость или газ движутся за счет внешних поверхностных сил, приложенных на границе системы, или однородного поля массовых сил, приложенных к жидкости внутри системы, или за счет кинетической энергии, сообщенной жидкости или газу вне системы.

Во втором случае движение жидкости вызывается действием неоднородного поля массовых сил, приложенных к частицам жидкости внутри системы и обусловленных внешними полями (гравитационным, магнитным, электрическим). Например, свободное гравитационное движение вызывается действием гравитационного поля в системе с неоднородным распределением плотности жидкости, которое является следствием неоднородного распределения температуры.

Вынужденное движение может сопровождаться свободным движением. Относительное влияние последнего тем больше, чем значительно разница температур отдаленных частиц жидкости и меньше скорость вынужденного движения. При высоких скоростях вынужденного движения влияние свободной конвекции пренебрежимо мало.

Главная трудность в использовании основного закона теплоотдачи заключается в определении коэффициента теплоотдачи (2). Практически изучение процесса теплоотдачи сводится к нахождению зависимости коэффициента теплоотдачи от различных факторов.

Существенное влияние на процесс конвективного теплообмена оказывает характер движения жидкости, так как им определяется

механизм передачи тепла. При ламинарном режиме течения частицы жидкости движутся не перемешиваясь, и перенос тепла по нормали к направлению движения осуществляется путем теплопроводности. При турбулентном режиме течения частицы жидкости движутся неупорядоченно, хаотически, направление и скорость движения отдельных частиц непрерывно меняются, а перенос тепла по нормали к направлению осредненного движения осуществляется как за счет теплопроводности, так и за счет пульсаций (конвекции), при этом пульсационный перенос тепла может во много раз превышать передачу его путем теплопроводности.

Форма и размеры поверхности теплообмена значительно влияют на теплоотдачу. Существует большое многообразие поверхностей теплообмена. Даже из той простейшей формы, например плиты или трубы, можно составить множество теплоотдающих поверхностей. Так, плита может быть с одной или двумя теплоотдающими поверхностями, может располагаться вертикально, горизонтально или наклонно. Из труб можно собрать различные теплоотдающие пучки; обтекание труб спиралей может быть продольным, поперечным и т.д. Каждая такая поверхность создает специфические условия для движения частиц жидкости и теплоотдачи.

### I. ДИФФЕРЕНЦИАЛЬНЫЕ УРАВНЕНИЯ И ГРАНЧИЧНЫЕ УСЛОВИЯ ДЛЯ КОНВЕКТИВНОГО ТЕПЛООБМЕНА

При изучении процессов теплообмена применяются главным образом феноменологический метод исследования, который заключается в следующем [3]:

1. Тепловоситатель предстаивает как сплошную среду. Его молекулярную структуру не рассматривают, а микроскопический механизм переноса тепла учитывают посредством параметров (коэффициента вязкости  $\mu$ , теплопроводности  $\lambda$ , плотности  $\rho$ , теплоемкости  $c_p$ ), характеризующих физические свойства вещества. Последние полагают заданными.

2. Для составления математического описания процессов теплообмена используют первый закон термодинамики, закон сохранения вещества и закон сохранения количества движения.

3. Для составления замкнутой системы дифференциальных уравнений используют гипотезы Бю - Фурье (о пропорциональности вектора плотности теплового потока за счет теплопроводности и вектора градиента температуры) и Ньютона (о пропорциональности касательного напряжения трения между двумя слоями движущейся вязкой жидкости и градиента скорости по нормали к направлению движения).

6

При феноменологическом методе исследования процесс передачи тепла будет однозначно определяться полями скоростей  $\bar{w}$ , давления  $p$  и температур  $T$  в зависимости от координат  $x$ ,  $y$ ,  $z$  и времени  $t$ . Для стационарного процесса  $\bar{w}$ ,  $p$ ,  $T$  зависят только от  $x$ ,  $y$ ,  $z$ .

Для определения пяти неизвестных (трех компонент вектора скорости  $\bar{w}$ ,  $p$  и  $T$ ) необходимо иметь пять уравнений. Их получают из основных законов физики (законов сохранения массы, количества движения и энергии), с использованием закона вязкого трения Ньютона и закона теплопроводности Бю - Фурье. Найденные таким образом уравнения называют уравнениями неразрывности, движения и энергии. В сочетании с зависимостями теплофизических свойств жидкости от температуры и давления, геометрическими параметрами, граничными и начальными условиями они составляют замкнутую систему уравнений, описывающую процесс конвективного теплообмена и движение жидкости.

Вход уравнений неразрывности и движения можно найти, например, в работе [8]. Для одифазной, химически однородной, изотропной, несжимаемой жидкости эти уравнения имеют следующий вид:

#### I. Уравнение энергии:

$$\rho c_p \left[ \frac{\partial T}{\partial t} + w_x \frac{\partial T}{\partial x} + w_y \frac{\partial T}{\partial y} + w_z \frac{\partial T}{\partial z} \right] = \\ = \frac{\partial}{\partial x} (\lambda \frac{\partial T}{\partial x}) + \frac{\partial}{\partial y} (\lambda \frac{\partial T}{\partial y}) + \frac{\partial}{\partial z} (\lambda \frac{\partial T}{\partial z}) + g_x + \mu \Phi, \quad (3)$$

где  $w_x$ ,  $w_y$ ,  $w_z$  — проекции скорости на оси  $x$ ,  $y$ ,  $z$ ;  $g_x$  — плотность внутренних источников теплоподделения;  $\Phi$  — функция рассеяния (диссипации) механической энергии потока;

$$\Phi = \mu \left[ 2 \left( \left( \frac{\partial w_x}{\partial x} \right)^2 + \left( \frac{\partial w_y}{\partial y} \right)^2 + \left( \frac{\partial w_z}{\partial z} \right)^2 \right) + \right. \\ \left. + \left( \frac{\partial w_x}{\partial y} + \frac{\partial w_y}{\partial x} \right)^2 + \left( \frac{\partial w_x}{\partial z} + \frac{\partial w_z}{\partial x} \right)^2 + \left( \frac{\partial w_y}{\partial z} + \frac{\partial w_z}{\partial y} \right)^2 \right],$$

#### 2. Уравнения движения в проекциях на оси $x$ , $y$ , $z$ (уравнения Навье - Стокса):

$$p \left( \frac{\partial w_x}{\partial x} + w_x \frac{\partial w_x}{\partial x} + w_y \frac{\partial w_x}{\partial y} + w_z \frac{\partial w_x}{\partial z} \right) =$$

$$= \rho g_x - \frac{\partial p}{\partial x} + \frac{\partial}{\partial x} \left( 2\mu \frac{\partial w_x}{\partial x} - \frac{2}{3} \mu \operatorname{div} \bar{w} \right) +$$

$$+ \frac{\partial}{\partial y} \left[ \mu \left( \frac{\partial w_x}{\partial y} + \frac{\partial w_y}{\partial x} \right) \right] + \frac{\partial}{\partial z} \left[ \mu \left( \frac{\partial w_x}{\partial z} + \frac{\partial w_z}{\partial x} \right) \right];$$

$$\begin{aligned}
 & \rho \left( \frac{\partial w_x}{\partial t} + w_x \frac{\partial w_x}{\partial x} + w_y \frac{\partial w_x}{\partial y} + w_z \frac{\partial w_x}{\partial z} \right) = \\
 & = \rho g_x - \frac{\partial p}{\partial y} + \frac{\partial}{\partial x} \left[ \mu \left( \frac{\partial w_x}{\partial x} + \frac{\partial w_y}{\partial y} \right) \right] + \\
 & + \frac{\partial}{\partial y} \left( 2\mu \frac{\partial w_x}{\partial y} - \frac{2}{3} \mu \operatorname{div} \vec{w} \right) + \frac{\partial}{\partial z} \left[ \mu \left( \frac{\partial w_x}{\partial z} + \frac{\partial w_z}{\partial y} \right) \right]; \\
 & \rho \left( \frac{\partial w_y}{\partial t} + w_x \frac{\partial w_y}{\partial x} + w_y \frac{\partial w_y}{\partial y} + w_z \frac{\partial w_y}{\partial z} \right) = \\
 & = \rho g_y - \frac{\partial p}{\partial z} + \frac{\partial}{\partial x} \left[ \mu \left( \frac{\partial w_y}{\partial x} + \frac{\partial w_z}{\partial z} \right) \right] + \\
 & + \frac{\partial}{\partial y} \left[ \mu \left( \frac{\partial w_y}{\partial y} + \frac{\partial w_z}{\partial x} \right) \right] + \frac{\partial}{\partial z} \left( 2\mu \frac{\partial w_y}{\partial z} - \frac{2}{3} \mu \operatorname{div} \vec{w} \right), 
 \end{aligned} \tag{4}$$

где  $g_x, g_y, g_z$  – проекции вектора ускорения свободного падения.

### 3. Уравнение неразрывности:

$$\frac{\partial \rho}{\partial t} + \frac{\partial(\rho w_x)}{\partial x} + \frac{\partial(\rho w_y)}{\partial y} + \frac{\partial(\rho w_z)}{\partial z} = 0. \tag{5}$$

К уравнениям (3) – (5) добавляют зависимости физических свойств жидкости от давления и температуры:

$$\rho = \rho(p, T); \quad c_p = c_p(p, T); \quad \lambda = \lambda(p, T); \quad \mu = \mu(p, T). \tag{6}$$

Уравнения (3) – (5) получены для несжимаемой жидкости. Однако они с достаточной точностью справедливы и для сжимаемых жидкостей (например, газов), если скорость их течения значительно меньше скорости звука.

Уравнения (3) – (5) справедливы для ламинарного и турбулентного движения жидкости или газа, однако при турбулентном движении под скоростью  $\vec{w}(w_x, w_y, w_z)$ , давлением  $p$  и температурой  $T$  понимают местные мгновенные значения этих параметров.

Для решения уравнений (3) – (5) необходимо задать краевые условия (или условия однозначности), к которым относятся:

1. Геометрические условия, характеризующие форму и размеры тела, смываемого жидкостью.

2. Границочные условия, характеризующие распределение скорости, давления и температуры на поверхности тела  $S$  в виде входном и выходном сечениях канала.

При феноменологическом описании процессов теплообмена скорость на поверхности тела  $S$  принимают равной нулю, так как жидкость прилипает к поверхности, т.е.

$$\vec{w}(S) = 0. \tag{7}$$

При течении жидкости в каналах граничные условия для температурного поля могут быть заданы в виде изменения температуры на поверхности тела (граничные условия первого рода)

$$T = T(S, t) \tag{8}$$

или в виде изменения плотности теплового потока (граничные условия второго рода)

$$q = q(S, t). \tag{9}$$

3. Начальные условия, характеризующие распределение скорости, температуры и давления в начальный момент времени при  $t = 0$ :

$$\vec{w} = \vec{w}(x, y, z, 0); \quad T = T(x, y, z, 0); \quad p = p(x, y, z, 0). \tag{10}$$

Для стационарного процесса граничные условия по времени не изменяются, а начальные условия не требуются.

Для ламинарного течения системы уравнений (3) – (5) с учетом (6) – (10) является замкнутой. В общем случае получить аналитическое решение не удается, поэтому задачу решают численно, исходя из возможностей современных вычислительных машин.

Для турбулентного течения рассматриваемая система уравнений незамкнута, так как для мгновенных значений параметром задача является нестационарной, а имеющиеся представления о турбулентном течении недостаточно для задания начальных условий (10). Поэтому для замкнутой системы необходимы дополнительные гипотезы, опирающиеся на экспериментальные данные. Если приближенное теоретическое решение получить невозможно, применяют метод подобия для определения линий критериальной зависимости и на основе экспериментальных исследований находит количественную связь между критериями подобия. Таким образом, для исследования теплопередачи характерно сочетание теоретических и экспериментальных методов.

Для турбулентного течения уравнения Ньютона – Стокса были преобразованы Рейнольдсом следующим образом. Для стационарного режима значения скоростей и температур турбулентного потока за достаточно большой промежуток времени в среднем остаются постоянными. Истинные (мгновенные) значения скоростей и температур непрерывно отличаются от среднего значения по величине, и для скорости – и по направлениям.

Истинные значения параметров можно представить в виде суммы где  $\bar{w}$ ,  $\bar{\rho}$ ,  $\bar{T}$  – среднестатистические значения за период турбулентных пульсаций; их средних величин и пульсационных составляющих, т.е.  $f(w) = \bar{f} + f'(w)$ ;  $T' = \bar{T}' + T''$ ,  $w' = w - \bar{w}$  – пульсационные составляющие.

где  $f'$  – функция, характеризующая изменение скорости, давления или температуры;  $\bar{f}'$  – среднестатистическая по времени соответствующая величина;  $f''$  – пульсационная составляющая. Отметим, что

$$\bar{f}' = \frac{1}{\Delta T} \int_{t_0}^{t_0 + \Delta T} f'(w') dw';$$

$$\bar{f}'(w') = \frac{1}{\Delta T} \int_{t_0}^{t_0 + \Delta T} f'(w') dw' = 0.$$

Применение этого правила среднестатистики позволяет получить из (3) – (5) уравнения Рейнольдса, причем для течения в каналах пренебрегают изменениями пульсационных составляющих по направлению продольной оси канала  $x$ , изменениями давления по оси  $y$ , нормальными к поверхности теплообмена, и влиянием силы тяжести:

$$\rho \frac{\partial w_x}{\partial t} + \rho w_x \frac{\partial w_x}{\partial x} + \rho w_y \frac{\partial w_x}{\partial y} + \rho w_z \frac{\partial w_x}{\partial z} = -\frac{\partial p}{\partial x} + \frac{\partial}{\partial y} \left( \mu \frac{\partial w_x}{\partial y} - \rho \overline{w'_x w'_y} \right) + \frac{\partial}{\partial z} \left( \mu \frac{\partial w_x}{\partial z} - \rho \overline{w'_x w'_z} \right);$$

$$\frac{\partial p}{\partial y} = 0;$$

$$\rho \frac{\partial w_y}{\partial t} + \rho w_x \frac{\partial w_y}{\partial x} + \rho w_y \frac{\partial w_y}{\partial y} + \rho w_z \frac{\partial w_y}{\partial z} = -\frac{\partial p}{\partial y} + \frac{\partial}{\partial x} \left( \mu \frac{\partial w_y}{\partial x} - \rho \overline{w'_x w'_y} \right) + \frac{\partial}{\partial z} \left( \mu \frac{\partial w_y}{\partial z} - \rho \overline{w'_y w'_z} \right);$$

$$\frac{\partial p}{\partial x} + \frac{\partial (\rho w_x)}{\partial y} + \frac{\partial (\rho w_y)}{\partial y} + \frac{\partial (\rho w_z)}{\partial z} = 0;$$

$$\rho c_p \left( \frac{\partial T}{\partial t} + w_x \frac{\partial T}{\partial x} + w_y \frac{\partial T}{\partial y} + w_z \frac{\partial T}{\partial z} \right) = -\frac{\partial y}{\partial y} \left( \lambda \frac{\partial T}{\partial y} - \rho c_p \overline{T' w'_y} \right) + \frac{\partial}{\partial z} \left( \lambda \frac{\partial T}{\partial z} - \rho c_p \overline{T' w'_z} \right) + q_v,$$

где  $\rho$  – плотность жидкости;  $c_p$  – теплоемкость при постоянном давлении;  $\lambda$  – коэффициент теплопроводности;  $q_v$  – объемная тепловая мощность. Из (II) видно, что в среднестатистическом движении турбулентных пульсаций вязкость  $\mu$  и коэффициент теплопроводности  $\lambda$  зависят от положения членов  $\rho \overline{w'_x w'_y}$ ,  $\rho \overline{w'_x w'_z}$ ,  $\rho \overline{w'_y w'_z}$ ,  $\rho \overline{w'_x w'_x}$ ,  $\rho c_p \overline{T' w'_y}$ ,  $\rho c_p \overline{T' w'_z}$ , аналогичных по смыслу членам вязкого трения и теплопроводности в начесовых членах турбулентных трений и теплопроводности. Выражают они перенос количества движения и тепла молекулами жидкости, перемещающимися вследствие пульсаций скорости в потоке.

По аналогии с  $\mu$  и  $\lambda$  вводят коэффициенты турбулентной вязкости  $\mu_\tau$  и теплопроводности  $\lambda_\tau$ , которые определяют из следующих зависимостей:

$$\tau_{xy} = (\mu_\tau)_{xy} \frac{\partial w_x}{\partial y} = -\rho \overline{w'_x w'_y}; \quad (I2)$$

$$g_{xy} = -(\lambda_\tau)_{xy} \frac{\partial T}{\partial y} = \rho c_p \overline{T' w'_y}. \quad (I3)$$

Если предположить, что коэффициенты турбулентной вязкости  $\mu_\tau$  и теплопроводности  $\lambda_\tau$  в каждой точке пространства одинаковы во всем направлении, т.е. изотропны:

$$(\mu_\tau)_{xy} = (\mu_\tau)_{xz} = (\mu_\tau)_{yz} = (\mu_\tau)_{zz} = \mu_\tau; \quad (I4)$$

$$(\lambda_\tau)_{xy} = (\lambda_\tau)_{xz} = \lambda_\tau, \quad (I5)$$

то уравнения для среднестатистического движения примут вид, аналогичный уравнениям для ламинарного движения, если под коэффициентами вязкости и теплопроводности понимать их суммарные значения (II):

$$\mu_x = \mu + \mu_\tau; \quad \lambda_x = \lambda + \lambda_\tau. \quad (I6)$$

В отличие от  $\mu$  и  $\lambda$  коэффициенты  $\mu_\tau$  и  $\lambda_\tau$  зависят не только от температуры и давления, но и от скорости течения, расположения от стенки, термоквазистатики стены и других параметров.

Ввиду невозможности решения полной системы уравнений Навье – Стокса для определения коэффициентов  $\mu_\tau$  и  $\lambda_\tau$  применяют экспериментальные методы.

Для нахождения коэффициента теплоотдачи при решении данной системы уравнений используют закон Бю – Фурье

$$q = -\lambda (\partial T / \partial n)_{n=0}, \quad (I7)$$

так как у поверхности твердого тела имеется слой неподвижной жидкости и тепло передается только за счет теплопроводности. Здесь  $n$  — нормаль к поверхности тела.

Приравняв величину плотности теплового потока, полученные по (2) и (17), найдем

$$\omega = - \frac{\lambda}{T_w - T_f} (\partial T / \partial n)_{n=0}. \quad (18)$$

Выражение (18) называют дифференциальным уравнением теплообмена. Оно характеризует процесс теплообмена на границах тела ( $n = 0$ ).

## 2. ОДНОМЕРНОЕ ОПИСАНИЕ ТЕЧЕНИЯ И ТЕПЛООБМЕНА В КАНАЛАХ.

### КОЭФФИЦИЕНТЫ ТЕПЛООБМЕНА И ГИДРАВЛИЧЕСКОГО СОПРОТИВЛЕНИЯ

Решение трехмерной системы уравнений (3) — (5) или (11) позволяет определить поля скоростей, давления и температур в рассматриваемой области. Однако на практике при решении задач конвективного теплообмена в каналах залог эти поля, как правило, не требуется, а вполне достаточно знать лишь распределение по длине канала среднемассовой температуры потока, среднерасходной скорости, температуры стены, а также перепада давлений. Поскольку теоретическое решение системы (3) — (5) затруднено в связи с большим объемом вычислений и невозможностью для турбулентных течений получить замкнутую систему уравнений, наиболее целесообразным представляется построение инженерных методов расчета на основе одномерного описания процессов в теплоносителе. Такой подход существенно упрощает математическую формулировку задачи, делая ее вполне разрешимой для численного расчета. В этом случае уравнения движения энергии и неразрывности примут вид [9-11]

$$\frac{G}{w} \frac{\partial w}{\partial t} + G \frac{\partial w}{\partial x} = F p g_z - F \frac{\partial p}{\partial x} - \frac{G}{2} \frac{\rho w^2}{d_s} F; \quad (19)$$

$$\frac{6c_p}{w} \frac{\partial T_f}{\partial t} + G c_p \frac{\partial T_f}{\partial x} = U q_w; \quad (20)$$

$$\frac{\partial p}{\partial t} F + \frac{\partial G}{\partial x} = 0. \quad (21)$$

Здесь плотность теплового потока на стенке  $q_w$  определяется по (2); коэффициент гидравлического сопротивления

$$k = - \frac{\delta \frac{\partial p}{\partial x}}{(\rho w^2 / 2) d_s}, \quad (22)$$

где  $\delta$  — доля продольного градиента давления  $\partial p / \partial x$ , расходуемая на трение и формирование профиля скорости (помимо этого, в практи-

ческих расчетах необходимо учитывать потери давления из ускорение потока  $\omega$  на местные сопротивления);  $\rho$  — средняя плотность жидкости, относенная к среднемассовой температуре потока  $T_f$  и давлению  $p$  в сечении  $x$ ;  $d_s$  — эквивалентный диаметр канала;  $U$  и  $F$  — соответствующий периметр и площадь поперечного сечения канала;  $G = \rho w F$  — массовый расход теплоносителя;  $w$  — среднерасходная скорость;

$T_f$  — среднемассовая температура потока в рассматриваемом сечении канала;  $c_p$  — теплоемкость, относенная к  $T_f$ ;  $g_z$  — проекция ускорения массовых сил на продольную ось канала  $x$ ;  $t$  — время.

Уравнение (20) записано в предположении, что подводом тепла путем продольных перетечек и диссоциаций энергия из-за трения можно пренебречь ввиду его малости по сравнению с подводом тепла к теплоносителю от стенок канала.

В общем случае систему уравнений (19) — (21) необходимо дополнить уравнением теплопроводности для стенок канала

$$\rho_w c_w \frac{\partial T}{\partial t} = \operatorname{div} (\lambda_m \operatorname{grad} T) + q_w, \quad (23)$$

поскольку поля температур в стенке и потоке взаимосвязаны, т.е. задача является совмещенной. В (23)  $\rho_w$ ,  $c_w$ ,  $\lambda_m$  — плотность, теплоемкость и коэффициент теплопроводности материала стенки канала,  $q_w$  — плотность внутренних источников тепла в стенке канала.

Система (19) — (21), (23) замыкается, если известны уравнения для  $\omega$  и  $k$ . Эти уравнения, как правило, можно получить экспериментально.

В ряде случаев задачу можно решить и в нестационарной постановке. Например, если в стационарном режиме задана плотность теплового потока на стенке  $q_w$ , то для решения уравнений (19) — (21) уравнение (23) не нужно. Температуру стенки находят по известному коэффициенту теплоотдачи из уравнения (2).

Оставляемся подробнее на понятиях среднерасходной скорости и среднемассовой температуры потока. Рассмотрим течение теплоносителя по каналу, на стенах которого задана плотность теплового потока  $q_w$ . На рис. I показаны профили скорости и температуры теплоносителя по сечению канала (для круглой трубы — по радиусу  $R$ ). Среднерасходную скорость определяют по формуле

$$w = G / \rho F, \quad (24)$$

а среднемассовую температуру находят из выражения

$$T_f = \frac{\int c_p \rho w_a T dF}{\int c_p \rho w_a dF} . \quad (25)$$

Иногда  $T_f$  называют средней по сечению температурой жидкости. Если коэффициент  $c_p$  и  $\rho$  в данном сечении можно пренебречь, то формула (25) принимает вид

$$T_f = \frac{\int w_a T dF}{\int w_a dF} = \frac{f}{V} \int w_a T dF , \quad (26)$$

где  $V$  - объемный расход жидкости,  $m^3/s$ ; величина  $T_f$  показана на рис. I.

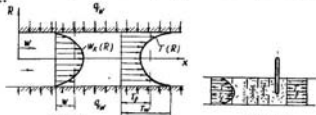


Рис. I

Рис. 2

Получить значение среднемассовой температуры жидкости расчетным путем трудно, так как для этого необходимо знать распределение температур и скоростей по сечению канала, а при переменных  $\rho$  и  $c_p$  их зависимость от температуры. Среднемассовую температуру потока можно получить экспериментально, для чего в канале надо поставить перегородки, например несколько перегородок, поворачивающих поток (рис. 2). Если в этом устройстве поток однотипен, то за ним температура потока будет постоянной по сечению и равной  $T_f$ . Ее можно измерить (рис. 2).

При заданной плотности теплового потока на стенке  $q_w(x)$  распределение среднемассовой температуры потока по длине канала можно получить из уравнения энергии (20). Для стационарного процесса

$$G c_p \frac{\partial T_x}{\partial x} = U q_w , \quad (27)$$

и температура теплоносителя будет определяться как

$$T_f(x) = T_{f_0} + \int_0^x \frac{q_w U}{c_p G} dx , \quad (28)$$

где  $T_{f_0}$  - температура жидкости на входе в канал.

Найденный для заданного сечения канала  $x$  коэффициент

$$\bar{\alpha}(x) = \frac{q_w(x)}{T_{w_0}(x) - T_f(x)} \quad (29)$$

называется местным коэффициентом теплоотдачи.

В общем случае коэффициент теплоотдачи может изменяться вдоль поверхности теплообмена. Для расчета теплоизмены обычно нужно знать средние по поверхности значения коэффициента теплоотдачи. Если значение  $\alpha$  изменяется по длине канала ( $x$  не меняется по его параметру для данного сечения), то его среднее значение  $\bar{\alpha}$  следует определять как частное от деления средней плотности теплового потока на средний температурный напор:

$$\bar{\alpha} = \frac{\bar{q}_w}{\Delta T} = \frac{\frac{f}{x_0} \int_{x_0}^{x_0} q_w(x) dx}{\frac{f}{x_0} \int_{x_0}^{x_0} \Delta T(x) dx} = \frac{\int_{x_0}^{x_0} \alpha(x) \Delta T(x) dx}{\int_{x_0}^{x_0} \Delta T(x) dx} . \quad (30)$$

Здесь  $q_w$  и  $\bar{q}_w$  - соответственно местные и средние значения плотности теплового потока;  $\Delta T$  и  $\bar{\Delta T}$  - местные и средние значения температурного напора, вычисляемого как разность среднемассовой температуры жидкости и температуры стены;  $x_0$  - длина канала, на которой ведется осреднение.

Среднее значение коэффициента теплоотдачи часто определяют как среднеквадратичное:

$$\bar{\alpha} = \frac{1}{x_0} \int_{x_0}^{x_0} \alpha(x) dx . \quad (31)$$

Осреднение по формулам (30) и (31) может дать различные результаты.

При использовании формулы (30)

$$\bar{q}_w = \bar{\alpha} \bar{\Delta T} = \bar{\alpha} \frac{f}{x_0} \int_{x_0}^{x_0} \Delta T(x) dx , \quad (32)$$

и определение необходимой для практических расчетов средней плотности теплового потока сводится к нахождению из эмпирических формул среднего значения  $\bar{x}$  и к расчету среднеквадратичного температурного напора. Если же использовать  $\bar{x}$ , полученные по (31), то в расчет необходимо ввести специальную подобранный средний температурный напор. Поэтому в настоящее время предпочтение отдается осреднению по формуле (30).

Поскольку при конвективном теплообмене температура жидкости перемена как по сечению канала, так и по его длине, осреднение

температуру канала в ряде случаев становится довольно сложной задачей. Определение температуры жидкости по сечению канала рассмотрено выше. Далее определенную по формуле (25) среднемассовую температуру  $T_f(x)$  будем определять по длине канала.

Средний температурный напор можно вычислить как средненитральный (с учетом (28)):

$$\begin{aligned}\overline{\Delta T} &= \pm \frac{f}{L} \int_0^L [T_w(x) - T_f(x)] dx = \\ &= \pm \frac{f}{L} \int_0^L [T_w(x) - T_{f_0} - \int_0^x \frac{g_w(x) U}{c_p \theta} dx] dx. \quad (33)\end{aligned}$$

Здесь  $L$  – длина канала. В формуле (33)  $g_w > 0$  при передаче тепла от стены к потоку и  $g_w < 0$  при обратном направлении теплового потока. Знак "плюс" берется при нагревании жидкости, знак "минус" – при охлаждении. Если  $g_w(x) = \text{const}$  и  $c_p = \text{const}$ , то  $T_f(x)$  линейна и

$$\overline{T}_f = (T_{f_0} + T_{f_L})/2, \quad (34)$$

где  $T_{f_L}$  – среднемассовая температура жидкости на выходе из канала. В этом случае

$$\overline{\Delta T} = \pm \left[ \frac{f}{L} \int_0^L T_w(x) dx - (T_{f_0} + T_{f_L})/2 \right]. \quad (35)$$

Обычно в теплообменных аппаратах плотность теплового потока меняется по длине. При этом с достаточной для практики точностью используется среднологарифмический температурный напор

$$\overline{\Delta T}_{\text{ср}} = \frac{\Delta T_o - \Delta T_t}{\ln \frac{\Delta T_o}{\Delta T_t}} = \frac{(T_{w_0} - T_{f_0}) - (T_{w_t} - T_{f_t})}{\ln \frac{T_{w_0} - T_{f_0}}{T_{w_t} - T_{f_t}}}, \quad (36)$$

где  $T_{w_0}, T_{w_t}$  – температура стени соответственно во входном и выходном сечениях канала.

При  $T_{w_t} = \text{const}$  по длине канала (рис. 3) формула (36) принимает вид

$$\overline{\Delta T}_{\text{ср}} = \frac{T_{f_0} - T_{f_t}}{\ln \frac{T_{f_0} - T_{w_0}}{T_{f_t} - T_{w_t}}}, \quad (37)$$

и средняя по длине канала температура жидкости будет

$$T_f = T_w \pm \overline{\Delta T}_{\text{ср}}. \quad (38)$$

Знак "плюс" берется при охлаждении жидкости, знак "минус" – при нагревании. Использование в расчетах среднеграфического температурного напора предполагает, что коэффициент теплоотдачи однороден по уравнению (31).

Если  $\Delta T_e / \Delta T_o > 0,5$ , то среднюю температуру жидкости можно вычислить как среднеграфическое значение  $T_{f_0}$  и  $T_{f_L}$ . При этом температурный напор находит по (36). Ошибка в определении температурного напора не превышает 4%.

Коэффициент гидравлического сопротивления  $f$  получают теоретически или экспериментальным путем. Для стационарного течения жидкости уравнение (19) принимает вид

$$\Delta p = p_o - p_t = \bar{F} \frac{\rho w^2}{2} \cdot \frac{t}{d_s} - \rho \bar{g}_x t, \quad (39)$$

где  $\bar{F} = \frac{f}{L} \int_0^L F(x) dx$  – средний на длине  $L$  коэффициент гидравлического сопротивления;  $\bar{g}_x = \frac{1}{L} \int_0^L g_x(x) dx$  – средняя проекция ускорения массовых сил на продольную ось канала.

Для стационарного течения газов ( $\rho = \rho w F$ ) с учетом  $G = \rho w F$  из уравнения (19) получаем

$$-\Delta p = \frac{G}{F} dw + \frac{G^2}{2 \rho F d_s} dx - \rho g_x dx. \quad (40)$$

Интегрирование (40) по длине канала дает

$$\Delta p = p_o - p_t = \frac{G}{F} (w_t - w_o) + \frac{G^2}{2 \rho F d_s} \cdot \frac{t}{d_s} - \bar{\rho} \bar{g}_x t, \quad (41)$$

где  $\bar{F}, \bar{\rho}, \bar{g}_x$  – среднеграфические значения соответствующих величин по длине канала  $t$ ;  $w_t$  и  $w_o$  – среднеграфические скорости теплоносителя в конце и начале канала.

Используя уравнение состояния  $p = \rho R T$ , формулу (41) можно записать так:

$$\Delta p = \frac{G^2 R}{F^2} \left( \frac{\bar{T}}{2 \bar{\rho}} \cdot \frac{t}{d_s} + \frac{T_t}{p_t} - \frac{T_o}{p_o} \right) - \frac{\bar{\rho} t}{R \bar{F}} \bar{g}_x, \quad (42)$$

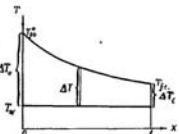


Рис. 3  
Коэффициент гидравлического сопротивления  $f$  получают теоретически или экспериментальным путем. Для стационарного течения жидкости уравнение (19) принимает вид

где  $T_0$ ,  $T_1$  - температура потока на входе и выходе;  $\bar{T}$ ,  $\bar{p}$  - средние по длине канала значения температуры и давления.

Так как в выражении (41) обычно неизвестны  $w_0$  и  $\bar{p}$ , а в уравнении (42) -  $\bar{p}_0$ ,  $\bar{p}$ ,  $\bar{T}$ , то задачу решают методом последовательных приближений.

В эксперименте средний коэффициент гидравлического сопротивления  $F$  для жидкости определяют по формуле (39), а для газов - по формуле (41). Если  $\rho$ ,  $w$  и  $\xi$  по длине канала не изменяются, то потери давления получают как

$$\Delta p = p_0 - p_1 = F \frac{\rho w^2}{d_s} \cdot \frac{\rho w^2}{2}. \quad (43)$$

### 3. ОСОБЕННОСТИ ТЕПЛООБМЕНА И ГИДРОДИНАМИКИ ПРИ ТЕЧЕНИИ ТЕПЛОНОСИТЕЛЯ В КАНАЛАХ

Особенности теплообмена и гидродинамики при течении теплоносителя в канале рассмотрим на примере течения его в трубе.



Рис. 4

Течение жидкости вблизи входного сечения канала подобно течению ее в пограничном слое при оттекании плоской пластины. Характер изменения профилей скоростей течения жидкости на входном участке трубы показан на рис. 4. Во входном сечении трубы ( $x = 0$ ), если кроме ее окружности, в жидкости поступает из достаточно большого резервуара, скорость течения распределяется равномерно. Вследствие действия сил трения и прилипания жидкости к стенке в потоке возникает пастенский слой заторможенной жидкости, называемый динамическим пограничным слоем  $\delta_p$ . На входе  $\delta_p = 0$ , но по мере удаления от входного сечения  $\delta_p$  постепенно возрастает. Скорость жидкости в пограничном слое в направлении, перпендикулярном стенке, изменяется от нуля на стенке до значения ее в ядре потока. Поскольку ядро потока не испытывает тормозящего действия сил трения, распределение скорости в ядре сохраняется равномерным. По мере удаления от входа толщина пограничного слоя возрастает, размеры ядра потока сокращаются, а скорость в нем увеличивается (вследствие постоянства расхода через любое сечение трубы). На некотором расстоянии от входа пограничные слои соединяются (для круглой трубы толщина пограничного

слоя  $\delta_p$  станет равной ее радиусу). В этом сечении заканчивается формирование профилей скорости, и при дальнейшем увеличении расстояния от входа он не изменяется по длине (в случае изотермического движения несжимаемой жидкости).

Течение жидкости в канале, которому соответствует определенный закон распределения скорости, не зависящий от распределения ее во входном сечении, называется гидродинамически стабилизированным течением. Расстояние от входа в канал, на котором происходит преобразование профилей скорости от входного до гидродинамически стабилизированного, называется начальным участком гидродинамической стабилизации и обозначается  $L_s$  (рис. 4). При  $x > L_s$  течение является гидродинамически стабилизированным.



Рис. 5

Аналогичная картина происходит и с распределением температур. На рис. 5 показан характер изменения профилей температур на входном участке трубы. Во входном сечении трубы температура потока распределяется равномерно. Если температура стекки трубы отличается от температуры потока на входе (на рис. 5 температура потока ниже температуры стекки), то возникает конвективный теплообмен в начальном сечении образования теплового пограничного слоя. В сечении, соответствующем началу обогрева или охлаждения, толщина теплового пограничного слоя равна нулю, но с удалением от этого сечения тепловой пограничный слой нарастает и на некотором расстоянии  $L_s$  (рис. 5) занимает все сечение, т.е. наступает тепловая стабилизация.

Расстояние от места начала обогрева или охлаждения до точки смыкания тепловых пограничных слоев называется начальным участком тепловой стабилизации. При стабилизированном тепловом течении теплоносителя в канале ( $x \geq L_s$ ) в случае, если тепловой поток по длине канала не изменяется и теплофизические свойства жидкости

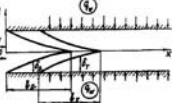


Рис. 6

остаются постоянными, профиль температуры, а значит, и коэффициент теплоотдачи по длине канала не изменяются. Если сечение, в котором начинается обогрев или охлаждение, совпадает с входным сечением канала, то тепловой и динамический пограничный слои формируются одновременно. Если же в начале канала имеется изотермический участок и обогрев или охлаждение начинается на некотором расстоянии от входа, то тепловой пограничный слой формируется внутри уже образовавшегося или образующегося динамического слоя (рис. 6). Таким образом, характер изменения коэффициентов теплоотдачи и гидравлического сопротивления на начальном участке и в зоне стабилизированного течения будет принципиально отличаться. На начальном участке эти коэффициенты зависят от продольной координаты  $x$  и от расположения точки начала обогрева или охлаждения относительно входного сечения. Для определения теплообмена и сопротивления на начальном участке канала широко применяют методы, используемые при расчете пограничных слоев [1].

#### 4. ОБЩИЙ ВИД КРИТЕРИАЛЬНЫХ УРАВНЕНИЙ ДЛЯ КОНВЕКТИВНОГО ТЕПЛООБМЕНА В КАНАЛАХ. ОПРЕДЕЛЕНИЕ РАЗМЕР. СПРЕДЕЛЕННАЯ ТЕМПЕРАТУРА

При экспериментальном исследовании процессов конвективного теплообмена для обобщения опытных данных и определения вида критериальных зависимостей используют метод подобия.

Для определения влияния на теплообмен какой-либо величины остальные надо сохранять независимыми, что не всегда возможно из-за большого числа переменных. При проведении эксперимента необходима уверенность, что результаты, полученные для какого-либо процесса на конкретной установке (модели), можно перенести и на другие аналогичные процессы. Эти трудности помогают разрешить теория подобия.

С помощью теории подобия размерные физические величины можно объединить в безразмерные комплексы, причем таким образом, что число комплексов будет меньше числа величин, из которых состоят эти комплексы. Получение безразмерных комплексов можно рассматривать как новые переменные.

При введении в уравнения безразмерных комплексов число величин под знаком функции формально сокращается, что упрощает исследование физических процессов. Кроме того, новые безразмерные переменные отражают влияние не только отдельных факторов, но и их совокупности, что позволяет легче определять физические связи в исследуемом процессе.

При приведении уравнений конвективного теплообмена к безразмерному виду помимо безразмерных температур, компонент скорости, координат и времени  $\Delta t/t^*$  образуются безразмерные комплексы, состоящие из разнородных физических величин

$$\Delta t/\lambda; \omega t/\varphi; \omega t/a; g \beta \Delta T t^3/\varphi^2; \Delta p/\rho m^2.$$

Эти комплексы называются критериями подобия для числовых подобий. Здесь  $t$  — характеристики или определяющий размер;  $\varphi$  — средняя скорость движения жидкости (обычно для канала в качестве определяющей принимается среднерасходная скорость);  $g$  — ускорение свободного падения;  $\Delta T$  — разность температур жидкости и стены;  $\Delta p$  — перепад давления в канале;  $\lambda$ ,  $a$ ,  $\varphi$ ,  $\beta$  — коэффициенты теплопроводности, температуропроводности, кинематической вязкости, объемного расширения.

#### Безразмерный комплекс

$$Nu = \omega t/\lambda \quad (44)$$

называют критерием Нуссауэра. Он характеризует теплообмен на границе "стена — жидкость" и в задачах конвективного теплообмена обычно является исходной величиной, поскольку в него входит определяемая величина  $a$ .

#### Безразмерный комплекс

$$Re = \omega t/\varphi \quad (45)$$

называют критерием Рейнольдса. Он характеризует соотношение сил инерции и сил вязкости в потоке.

#### Безразмерный комплекс

$$Pe = \omega t/a \quad (46)$$

называют критерием Пекле. Он характеризует отношение темпа, переносимого конвекцией, к темпу, переносимому теплопроводностью.

#### Безразмерный комплекс

$$Gr = g \beta \Delta T t^3/\varphi^2 \quad (47)$$

называют критерием Грасгофа. Он характеризует соотношение между подъемными силами, возникающими в жидкости из-за разности плотностей, и силами вязкости.

#### Безразмерный комплекс

$$Eu = \Delta p/\rho \omega^2 \quad (48)$$

называют критерием Эйлера. Он характеризует отношение перепада давления к скоростному напору и в задачах конвективного теплообмена

обычно является определяемой величиной. Коэффициент гидравлического сопротивления  $\lambda$  связан с критерием Эйлера  $E_u$  простым соотношением

$$\lambda = \frac{\Delta P}{(t/d_s)(\rho u^2/2)} = \frac{2E_u}{t/d_s}. \quad (49)$$

Безразмерная величина  $Pr = \rho c_p / \lambda$  представляет собой новый критерий, называемый критерием Прандтля. Он слишкомложен из физических параметров, и поэтому сам является физическим параметром. Его можно записать в следующем виде:

$$Pr = \nu/\alpha = \mu c_p / \lambda, \quad (50)$$

где  $\mu$  - коэффициент динамической вязкости;  $c_p$  - теплоемкость.

Критерий Прандтля может служить мерой подобия полей температур в скоростях.

Для газов критерий  $Pr$  практически не зависит от температуры и давления. Для конкретного газа он является величиной постоянной, определяемой атомистикой газа. В соответствии с кинетической теорией значения  $Pr$  для идеальных одно-, двух-, трех- и многоатомных (четырехатомных и более) газов равны соответственно 0,67; 0,72; 0,80; 1,00. Значения  $Pr$  для реальных газов несколько другие.

Для канальных жидкостей (вода, нефтепродукты) критерий  $Pr$ , как правило, изменяется в пределах от I до 200 и сильно зависит от температуры, в основном из-за изменения вязкости. При увеличении температуры значение критерия  $Pr$  резко снижается. Например, для воды на линии пасовщика при изменении температуры от нуля до  $18^{\circ}\text{C}$  критерий  $Pr$  уменьшается от 13,7 до I. Некоторые жидкости (глицерин, вязкие масла) при низких температурах имеют значения  $Pr$ , достигающие нескольких тысяч. Для жидкотекучих теплоносителей (жидкое, кипящее, ледяное, ртуть) критерий  $Pr$  изменяется в пределах 0,008...0,05. Столь низкие значения  $Pr$  объясняются их высокой теплопроводностью.

Безразмерное время  $\alpha T/t^2$  называют критерием Фурье:

$$Fo = \alpha T/t^2. \quad (51)$$

Критерий  $Fo$  характеризует отношение времени протекания процесса  $T$  к времени перестройки температурного поля в жидкости, пропорциональному  $t^2/\alpha$ .

Произведение критериев  $Gr$  и  $Pr$  называют критерием Радея:

$$Ra = Gr \cdot Pr = g \beta \Delta T t^3 / \alpha. \quad (52)$$

В критерии  $Gr$ ,  $Re$ ,  $Pe$ ,  $Nu$ ,  $Fo$  входит характеристики или определяемый размер  $t$ . Обычно при течении жидкости внутри трубы в качестве определяющего размера принимают внутренний диаметр трубы  $d$ .

Для каналов некруглой формы за определяющий размер принимают эквивалентный диаметр канала:

$$d_e = 4F/U, \quad (53)$$

где  $F$  - площадь поперечного сечения;  $U$  - полный омыляемый периметр.

Например, для плоского канала (рис. 7, а) эквивалентный диаметр  $d_e = 2bh/(b+h)$  ( $b$  - ширина,  $h$  - высота канала). Если  $b \gg h$  (плоская пластина), то  $d_e = 2h$ . Для колыцевого канала с внутренним диаметром  $d_i$  и наружным диаметром  $d_o$  эквивалентный диаметр  $d_e = d_o - d_i$  (рис. 7, б). Для продольно омыляемого пучка труб, если считать, что число труб бесконечно, эквивалентный диаметр  $d_{e,p} = [1/102(S/d)^2 - f]d$  для пакетного расположения труб (рис. 7, в) и  $d_{e,w} = [1/273(S/d)^2 - f]d$  для коридорного расположения труб (рис. 7, г). Здесь  $S/d$  - относительный шаг размещения труб в пучке.

Иногда при расчете теплообмена на начальном участке канала в качестве определяющего размера используют расстояние от входа  $x$ . Для обозначения выбранного определяющего размера критерии подобия часто снабжают соответствующими индексами. Например,  $Nu_{d_e}$  означает, что определяющим размером в критерии  $Nu$  является эквивалентный диаметр  $d_e$ , а  $Re_x$  означает, что число Рейнольдса определяено по  $x$ .

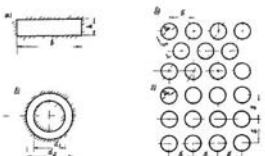


Рис. 7

Для определения процессов теплообмена важно знать не только диаметр  $d$ , трубы или канала, но и некоторые другие их характеристические размеры. Например, при движении жидкости в прямой гладкой трубе в качестве дополнительного размера следует известна ее длину  $L$  или расстояние от входа  $x$  (в безразмерном виде  $L=x/d$  и  $X=x/L$ ). Для каналов сложной формы при изменениях коэффициента теплоотдачи по параметру  $\lambda$  в ряде случаев также вводятся безразмерные координаты  $Y=y/d$ , в  $Z=z/d$ , или безразмерные параметры  $L_1, \dots, L_n$ , характеризующие геометрию канала. Например, для продольно симметричных пучков труб в качестве безразмерного параметра используют относительные шаги труб  $L_i = S_i/d$  (для колышевых каналов  $L = d_g/d_s$ ).

Входящие в критерий подобия физические свойства жидкости или газа  $\gamma$ ,  $\alpha$ ,  $\lambda$ ,  $\beta$  в общем случае зависят от температуры. Поэтому вводят понятие определяющей температуры, т.е. температуры, при которой находят значения физических свойств, входящих в критерий. При этом критерий снабжает соответствующим индексом. Чаще всего в качестве определяющей принимают среднемассовую температуру потока в рассматриваемом сечении  $T_f$ , и среднюю температуру для канала в целом  $T_w$ . В этом случае соответствующие критерии обозначают следующим образом:  $Nu_f, Re_f, Pr_f$  (в литературе определяющую температуру также обозначают индексами:  $\text{ж}$  — жидкость,  $\text{г}$  — газ,  $\text{п}$  — поток). Иногда в качестве определяющей используют температуру стекла  $T_{\infty}$ , и тогда критерии обозначают соответственно  $Nu_m, Re_m, Pr_m$  (в литературе эту температуру обозначают индексом "ст" — стекло). При расчете свободной конвекции в качестве определяющей обычно принимают полусумму температур жидкости и стекла  $T_m = (T_{\infty} + T_f)/2$ , а соответствующие критерии обозначают как  $Nu_m, Gr_m, Pr_m$  (иногда эту температуру обозначают индексом "ср" — средняя).

Так как введение одной определяющей температуры не позволяет в общем случае учесть влияние переменности свойств среды на теплообмен, вводятся дополнительные безразмерные параметры  $\rho_f/\rho_w$ .

$c_p/c_{\infty}, \mu_f/\mu_{\infty}, \lambda_f/\lambda_{\infty}$  — составляющие из физических свойств, взятых при температурах  $T_w$  и  $T_f$ .

Для газов эти свойства зависят в основном от температуры. Их соотношения имеют вид

$$\frac{\rho_f}{\rho_w} = \left(\frac{T_f}{T_w}\right)^{\alpha_f}, \quad c_p/c_{\infty} = \left(\frac{T_f}{T_w}\right)^{\gamma_f}, \quad \lambda_f/\lambda_{\infty} = \left(\frac{T_f}{T_w}\right)^{\beta_f}, \quad (54)$$

где  $\alpha_f, \gamma_f, \beta_f$  — постоянные, зависящие от природы газа и интервала температур.

В большинстве случаев  $\beta_f = -1$ . Поэтому в общем случае в критерийные уравнения теплообмена для газов с полным учетом влияния переменности свойств среди достаточно известны безразмерные параметры  $T_w/T_f, \rho_f, \mu_f, \lambda_f, \alpha_f$ , а для конкретного газа — только  $T_w/T_f$ .

Таким образом, в общем случае критерийное уравнение для местной теплоотдачи в канале имеет вид

$$Nu_f = f(Re_f, Pr_f, Gr_f, T_w/T_f, \rho_f, \mu_f, \lambda_f, \alpha_f, X, Y, Z, L_1, \dots, L_n). \quad (55)$$

В случае стационарного теплообмена в круглой трубе зависимость (55) можно упростить:

$$Nu_f = f(Re_f, Pr_f, Gr_f, T_w/T_f, \rho_f, \mu_f, \lambda_f, \alpha_f, X). \quad (56)$$

Для конкретных газов зависимость (56) можно выразить в виде

$$Nu_f = f(Re_f, Pr_f, Gr_f, T_w/T_f, X) \quad (57)$$

или с учетом того, что  $Pr_f = \text{const}$ , можно записать

$$Nu_f = f(Re_f, Gr_f, T_w/T_f, X). \quad (58)$$

При слабом влиянии свободной конвекции, что характерно для турбулентного режима течения, а также для ламинарного режима при небольших  $\Delta T$  и  $\lambda$ , критерийное уравнение принимает вид

$$Nu_f = f(Re_f, T_w/T_f, X). \quad (59)$$

Для жидкостей с изменением температуры меняются  $c_p, \mu_f, \lambda$ . Учет влияния их изменения на теплообмен можно с помощью отношения  $Pr_f/Pr_w$ . Поскольку сильное влияние со стороны изменений температуры у жидкостей меняется коэффициент вязкости, иногда вместо  $Pr_f/Pr_w$  в критерийные уравнения вводят  $\mu_f/\mu_w$ . Таким образом, критерийное уравнение для стационарного теплообмена в круглой трубе будет

$$Nu_f = f(Re_f, Pr_f, Gr_f, \mu_f/\mu_w, X), \quad (60)$$

а при слабом влиянии свободной конвекции

$$Nu_f = f(Re_f, Pr_f, Pr_f/Pr_w, X). \quad (61)$$

От аналогичных критерия в соответствующих условиях зависит критерий Эйлера или коэффициент гидравлического сопротивления  $\xi$ .

Уравнения типа (55) — (61) так же, как исходная система различных уравнений (3) — (5), описывают бесконечное множество конкретных процессов конвективного теплообмена. Они справедливы для логического процесса теплоотдачи между стеклом и жидкостью, установленного при принятии при выводе уравнений допущениям. Следовательно, эти уравнения описывают совокупность физических процессов, характер-

различных одинаковым механизмом переноса тепла. Различие отдельных физических процессов определяется с помощью условий однозначности, которые могут иметь разные численные значения.

Формулирование ниже условий определяют подобие физических процессов [12]:

1. Подобные процессы должны быть качественно одинаковыми, т.е. они должны иметь одинаковую физическую природу и описываться одинаковыми по форме дифференциальными уравнениями.

2. Условия однозначности подобных процессов, кроме численных значений постоянных, должны быть одинаковыми.

3. Одноименные определяющие критерии подобных процессов должны иметь одинаковую численную величину.

Из первого и второго условий следует, что подобные процессы должны описываться одинаковыми (тождественными) безразмерными дифференциальными уравнениями и безразмерными граничными условиями. В безразмерной форме математическая формулировка рассматриваемых подобных процессов одна и та же. Следовательно, подобные процессы описываются единой формулой типа (55) – (61), при этом функция  $f$  будет одинаковой для всех подобных процессов.

При соблюдении первых двух условий подобия исследуемые процессы будут зависеть от одних и тех же критериев. При соблюдении третьего условия, поскольку функция  $f$  одинакова, определяемые одноименные критерии будут иметь одинаковую численную величину.

Зависимости (55) – (61) получают обычно эмпирическим путем, и поэтому они применимы лишь в подтверждении смысла пределов изменения аргументов. Конкретные эмпирические зависимости для расчета коэффициентов теплоотдачи гидравлического сопротивления будут рассмотрены ниже.

## 5. ГИДРАВЛИЧЕСКОЕ СОПРОТИВЛЕНИЕ ПРИ ИЗОТЕРМическом ТЕЧЕНИИ ТЕПЛОНОСИТЕЛЯ В ТРУБАХ

Как показывают теория и опыт, характер течения жидкости вблизи входного сечения трубы существенно зависит от условий входа. Однако на достаточноном удалении от входного сечения эта зависимость исчезает. Такое течение, как уже отмечалось выше, называется гидравлически стабилизированным. Если трубопровод достаточно длинный, то, начиная с некоторого расстояния от входа, течение можно считать гидравлически стабилизированным.

Рассмотрим сначала ламинарный поток при стационарном течении нескжимаемой жидкости. В этом случае

$$\frac{\partial w_x}{\partial r} = 0; \quad w_y = w_z = 0,$$

следовательно,

$$\frac{\partial p}{\partial y} = \frac{\partial p}{\partial z} = 0, \quad \frac{\partial w_x}{\partial x} = 0.$$

Таким образом, давление изменяется только по длине, а скорость  $w_x$  – только по сечению. Уравнение движения в цилиндрических координатах можно записать в виде

$$J \frac{f}{r} \frac{d}{dr} \left( r \frac{dw_x}{dr} \right) = \frac{dp}{dx} = \text{const}, \quad (62)$$

где  $r$  – текущий радиус цилиндрического канала;  $J$  – коэффициент динамической вязкости.

Так как  $w_x$  – функция только  $r$ , а  $p$  – функция только  $x$ , то правая и левая части уравнения (62) разны одной и той же постоянной величине. Отсюда следует, что  $p$  меняется вдоль канала по линейному закону:

$$-dp/dx = \Delta p/L = \text{const}, \quad (63)$$

где  $\Delta p = p_0 - p_1$ ;  $L$  – длина канала.

Решение уравнения (62) с учетом (63) имеет вид

$$w_x = -(\Delta p/L)(r^2/4\mu L) + C_1 \ln r + C_2. \quad (64)$$

Используя граничные условия из стекле в на оси канала

$$\frac{dw_x}{dr} = 0 \text{ при } r = 0, \quad w_x = 0 \text{ при } r = 0, \quad (65)$$

определен постоянные интегрирования

$$C_1 = 0; \quad C_2 = \Delta p r_0^2 / (8\mu L),$$

где  $r_0$  – внутренний радиус канала.

Следовательно, распределение скорости по сечению канала

$$w_x = \frac{\Delta p}{4\mu L} (r_0^2 - r^2) \quad (66)$$

Средняя по сечению скорость жидкости

$$\bar{w} = \frac{1}{2\pi r_0^2} \int_{r_0}^{r_0} w_x 2\pi r dr = \frac{\Delta p}{2\pi r_0^2 \mu L} \int_{r_0}^{r_0} (r_0^2 - r^2) r dr = \frac{\Delta p r_0^2}{8\mu L}. \quad (67)$$

Максимальная скорость (на оси канала) согласно (66) и (67) будет

$$w_{\max} = \Delta p r_0^2 / (8\mu L) = 2\bar{w}. \quad (68)$$

Уравнение (66) с учетом (68) можно записать в виде

$$w_x = 2\bar{w} \left( 1 - \frac{r^2}{r_0^2} \right). \quad (69)$$

Таким образом, скорость жидкости при движении в круглой тру-бе распределена по закону параболы, при этом максимальная скорость в два раза больше средней по сечению. На рис. 8 кривой I обозначен профиль скорости при ламинарном течении. Уравнение (67) выражает закон Ньютона. Из (67) с учетом (43) имеем

$$\frac{U}{d} = 64/Re, \quad (70)$$

где число  $Re = \frac{\rho U d}{\mu}$  получено по диаметру трубы  $d$ . Уравнение (70) справедливо при  $Re < 2300$ .

Для нахождения коэффициента гидравлического сопротивления при турбулентном стабилизированном течении исследуемой жидкости используют универсальный закон распределения скорости в трубе  $U = f(\eta)$ , где  $\eta = \frac{U - U_{\infty}}{U_{\tau}}$  и  $U_{\tau} = \sqrt{\tau_{\tau}/\rho}$  — безразмерная скорость и координата;  $U_{\infty} = \sqrt{\tau_{\tau}/\rho}$  — скорость трения,  $\tau_{\tau}$  — касательное напряжение на стенке;  $y$  — расстояние от стены.

Согласно этому закону максимальная скорость

$$\frac{U_{\max}}{U_{\infty}} = 2,5 \ln \frac{U_{\tau} r_{\tau}}{y} + 5,5, \quad (71)$$

$$\frac{U_{\max} - U_{\infty}}{U_{\infty}} = 2,5 \ln \frac{r_{\tau}}{y}. \quad (72)$$

Средняя скорость

$$U = \frac{1}{2} C_{\mu} \frac{U_{\max}}{U_{\infty}} \int_0^{r_{\tau}} u_x 2 \pi (r_{\tau} - y) dy. \quad (73)$$

С учетом (72) и (73) получим

$$\begin{aligned} \frac{U_{\max} - U}{U_{\infty}} &= -\frac{2,5}{2} \int_0^{r_{\tau}} \ln \left( \frac{y}{r_{\tau}} \right) 2 \pi (r_{\tau} - y) dy = \\ &= -5 \int_0^1 \ln \left( \frac{y}{r_{\tau}} \right) \left( 1 - \frac{y}{r_{\tau}} \right) dy = -3,75 \end{aligned} \quad (74)$$

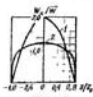


Рис. 8

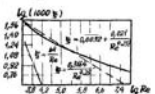


Рис. 9

Выражение (71) можно представить в виде

$$\frac{U_{\max} - U}{U_{\infty}} + \frac{U}{U_{\infty}} = 2,5 \ln \left( \frac{U_{\tau} r_{\tau}}{y} \right) + 5,5. \quad (75)$$

Так как для трубы

$$\tau_{\tau} = \frac{C_{\mu} U_{\infty}^2}{8} \quad \text{и} \quad \frac{U_{\tau}}{U_{\infty}} = \frac{2 \sqrt{2}}{\sqrt{5}},$$

то с учетом (74) выражение для определения коэффициента гидравлического сопротивления при турбулентном стабилизированном течении будет иметь вид

$$\frac{B}{U_{\infty}^2} = 2 \operatorname{tg} (\operatorname{Re} \sqrt{\frac{C_{\mu}}{5}}) - 0,8. \quad (76)$$

Полученное выражение для  $B$  хорошо подтверждается многочисленными опытами.

На рис. 8 профиль скорости для турбулентного течения (кривая 2) сопоставляется с профилем скорости для ламинарного течения (кривая I). При турбулентном течении профиль скорости более запялен, причем тем сильнее, чем выше  $Re$ . В области развитого турбулентного течения  $U/U_{\max} = 0,8..0,9$ .

Выражение (76) определяет  $B$  от  $Re$  в явном виде. Ниже приведена зависимость  $B$  от  $Re$  в явном виде:

$$B = 0,0032 + 0,231/Re^{0,237}, \quad (77)$$

которая хорошо подтверждается экспериментом в области  $Re > 10^5$ .

На рис. 9 приведена зависимость  $B$  от  $Re$ . Сплошная кривая соответствует зависимости (76), а пунктирная — закону Блазуса

$$B = 0,3164/Re^{0,25}, \quad (78)$$

справедливому в области  $5 \cdot 10^3 < Re < 10^5$ . На этом же рисунке показана штрихованием линии, соответствующая закону Ньютона (70) для ламинарного режима течения. При  $Re > 10^5$  используется формула Г.К. Филоненко

$$B = 1/(1,82 \operatorname{tg} Re - 1,64)^2. \quad (79)$$

На начальном участке трубы профиль скорости перестраивается от входного до стабилизированного. Если жидкость поступает в трубу из достаточно большого объема, в входные кромки трубы скруглены, то распределение скорости по входному участку будет равномерным. Затем профиль скорости перестраивается до стабилизированного на расстояниях  $t_s$  (рис. 4). Обычно  $t_s$  определяют как расстояние, на котором осевая скорость отличается от стабилизированной не более чем на 1%. Для ламинарного течения

$$t_s/d = 0,065 Re. \quad (80)$$

Местный коэффициент сопротивления трения на участке гидродинамической стабилизации при  $X_s \leq 0,001$  [13] равен

$$\xi \text{Re} = 6,87 \left( \frac{f}{\text{Re}} \cdot \frac{x}{d} \right)^{-\frac{1}{2}}. \quad (81)$$

Средний коэффициент сопротивления трения на участке от входа до рассматриваемого сечения  $X_t = (x/d) \cdot (f/\text{Re})$  определяется при  $X_t < 0,001$ :

$$\bar{\xi} \text{Re} = 1/3,79 \left( \frac{f}{\text{Re}} \cdot \frac{x}{d} \right)^{-\frac{1}{2}}. \quad (82)$$

Здесь  $\xi \text{Re}$  и  $\bar{\xi} \text{Re}$  соответственно при  $X_t = f$  и  $X_t = 0,1$  стремятся к постоянному значению, отвечающему стабилизированному течению, причем коэффициент  $\xi$  с точностью до 1% принимает постоянное значение при  $x = f$ , а  $\bar{\xi}$  — при  $x = 40 f_g$ . Зависимости  $\xi \text{Re}$  и  $\bar{\xi} \text{Re}$  от  $x$  показаны на рис. 10. При  $x \gg f_g$

потери давления в трубе составят

$$\frac{P_0 - P_t}{\frac{1}{2} \rho u^2} = \bar{\xi}_{x=f_g} \frac{t_g}{d} + \xi \frac{x - t_g}{d} = \bar{\xi} \frac{x}{d} + K, \quad (83)$$

где  $\bar{\xi}$  определяется для стабилизированного течения по формуле (70),  $\bar{\xi}_{x=f_g}$  — средний коэффициент сопротивления трения для участка  $x = f_g$ ;  $K$  — коэффициент, равный 1,12.

При турбулентном течении длина  $t_g$  зависит от угла наклона трубы. При равномерном профиле скорости на входе в начале трубы, по данным С.С. Филимонова и Б.А. Крусталева, до расстояния

$$(x/d)_{sp} \approx 2 \cdot 10^6 / \text{Re} \quad (84)$$

развивается ламинарный гидродинамический пограничный слой, а затем, после перехода в турбулентный режим течения, коэффициент  $\xi$  стабилизируется на расстоянии

$$t_g/d \approx 4,5 \cdot 10^5 / \text{Re} \quad (85)$$

Формулы (84) и (85) справедливы при плавном входе для  $10^4 < \text{Re} < 5 \cdot 10^6$ . Наличие возмущений в потоке на входе (острые кромки) приводит к уменьшению длины начального участка. Потери давления на начальном участке с плавным входом при  $x/d < (x/d)_{sp}$  определяются зависимостью (81) для ламинарного движения.

При  $\text{Re} > 5 \cdot 10^6$  зона с ламинарным режимом течения мала по сравнению с  $t_g$  — длиной гидродинамического начального участка:

$$t_g/d \approx 0,8 \text{Re}^{0,25}, \quad (86)$$

а местное значение  $\xi$  приближено равно

$$\frac{\xi(x)}{\xi_{x=f_g}} \approx 0,88 \left( \frac{x/d}{\text{Re}^{0,25}} \right)^{-0,25}. \quad (87)$$

Потери давления при турбулентном течении при  $x \gg t_g$  определяются по формуле (83), где  $K = 1,55$  для входа с острой кромкой и слабо зависит от  $\text{Re}$ ; при плавном входе  $K = 1,16$  для  $\text{Re} > 2 \cdot 10^6$ .

## 6. ТЕПЛООБМЕН И ГИДРАУЛИЧЕСКОЕ СОПРОТИВЛЕНИЕ ПРИ НЕИЗОТЕРМИЧЕСКОМ ГИДРОДИНАМИЧЕСКОМ СТАБИЛИЗИРОВАННОМ ТЕЧЕНИИ ТЕПЛОНОСИТЕЛЯ В ТРУБАХ

Вначале рассмотрим стационарное неизотермическое течение несжимаемой жидкости в трубе вдали от входа, т.е. на том участке, где тепловой и гидродинамический пограничные слои смыкаются. При сравнительно небольших скоростях течения жидкости для практических расчетов можно принять следующие допущения: 1) диссилипция кинетической энергии можно пренебречь; 2) влияние массовых сил по сравнению с влиянием сил вязкости, давления и инерции незначительно; 3) изменение здоль оси трубы плотности теплового потока, обусловленное теплопроводностью и турбулентным переносом, мало по сравнению с изменением этой величины здоль радиуса трубы; 4) изменение здоль оси аксиального нормального напряжения, обусловленного сдвигом вязкости и турбулентным переносом, мало по сравнению с изменением этой величины здоль радиуса; 5) давление постоянно по сечению канала; 6) изменение скоростного напора здоль оси канала мало по сравнению с изменением статического давления.

Принимая во внимание указанные допущения, уравнения энергии и движения (II) с учетом (12) — (16) для цилиндрических координат можно записать в виде

$$\rho w_r \frac{\partial i}{\partial x} = \frac{i}{r} \frac{\partial}{\partial r} (r q); \quad (88)$$

$$\frac{\partial p}{\partial x} = - \frac{i}{r} \frac{\partial}{\partial r} (r \tau); \quad (89)$$

$$q = (\lambda + \lambda_\tau) \frac{\partial T}{\partial r}, \quad (90)$$

$$\tau = -(\mu_s + \mu_\tau) \frac{\partial w_r}{\partial r}, \quad (91)$$

где  $i$  — энтальпия;  $q$  — плотность радиального теплового потока;  $\tau$  — касательное напряжение.

Предполагаем, что продольный градиент энталпии  $\partial i / \partial x$  постоянен по сечению канала. Умножим обе части уравнения (88) на  $r dr$  и с учетом этого допущения, интегрируя от 0 до  $r_s$ , получим

$$\frac{\partial i}{\partial x} = 2q_w / \rho w r_s, \quad (92)$$

где  $q_w$  — плотность теплового потока на стенке;  $r_s$  — радиус канала;  $\bar{\rho} w$  — средняя по сечению массовая скорость жидкости.

Подставив (92) в (88) и проинтегрировав (88) в интервале от 0 до  $r_s$ , получим выражение для распределения плотности теплового потока по радиусу:

$$\frac{q(r)}{q_w} = \frac{2}{R} \int_0^R \frac{\rho w_s}{\bar{\rho} w} R dR, \quad (93)$$

где  $R = r/r_s$  — безразмерный радиус.

Поскольку по сечению канала давление постоянно и  $di = c_p dT$ , то

$$\frac{\partial i}{\partial r} = c_p \frac{\partial T}{\partial r}. \quad (94)$$

Подставив в (90) выражение для  $\partial T / \partial r$  из (94), запишем

$$q(r) = \frac{\lambda}{c_p} \left( f + \frac{\lambda_x}{\lambda} \right) \frac{\partial i}{\partial r}. \quad (95)$$

Из (93) и (95) можно получить выражение для радиального градиента энталпии:

$$\frac{\partial i}{\partial R} = q_w d \int_0^R \frac{\rho w_s}{\bar{\rho} w} R dR \cdot \frac{\lambda}{c_p} \left( f + \frac{\lambda_x}{\lambda} \right) R. \quad (96)$$

Проинтегрировав уравнение (96) в интервале от  $R$  до 1, получим выражение для распределения энталпии по радиусу канала:

$$i_w - i = q_w d \int_0^1 \frac{\rho w_s}{\bar{\rho} w} R dR \cdot \frac{\lambda}{c_p} \left( f + \frac{\lambda_x}{\lambda} \right) R, \quad (97)$$

где  $i_w$  — значение энталпии на стеке канала.

По определению коэффициент теплоотдачи

$$\alpha = \frac{q_w}{T_w - T_f} = \frac{q_w \bar{\rho} w}{i_w - i_f}, \quad (98)$$

где  $T_w$  и  $T_f$  — температура стены и среднемассовая температура жидкости;  $i_f$  — среднемассовая энталпия;  $\bar{\rho} w$  — средняя по сечению канала теплоемкость жидкости;

$$\bar{\rho} w = \frac{i_w - i_f}{T_w - T_f} = \frac{\int_{r_s}^{r_w} c_p dT}{T_w - T_f}. \quad (99)$$

Умножив обе части (97) на  $2 \frac{\rho w_s}{\bar{\rho} w} R dR$  и проинтегрировав по  $R$  от 0 до 1, с учетом того, что  $i_w - i_f = 2 \int_0^1 \left( i_w - \frac{\lambda}{c_p} R \right) \frac{\rho w_s}{\bar{\rho} w} R dR$ , запишем

$$i_w - i_f = 2q_w d \int_0^1 \frac{\left( \int_0^R \frac{\rho w_s}{\bar{\rho} w} R dR \right)^2}{\frac{\lambda}{c_p} \left( f + \frac{\lambda_x}{\lambda} \right) R} dR. \quad (100)$$

Из (100) получим выражение для определения числа Нуссельта:

$$\frac{f}{Nu_s} = 2 \int_0^1 \frac{\left( \int_0^R \frac{\rho w_s}{\bar{\rho} w} R dR \right)^2}{\frac{\lambda}{c_p} \left( f + \frac{\lambda_x}{\lambda} \right) R} dR, \quad (101)$$

где  $Nu_s = \alpha d / \lambda_f$  находится по  $\lambda_f$  при среднемассовой температуре жидкости  $T_f$ .

Если физические свойства жидкости не зависят от температуры, выражение (101) сводится к интегралу Лапонса

$$\frac{f}{Nu} = 2 \int_0^1 \frac{\left( \int_0^R \frac{\rho w_s}{\bar{\rho} w} R dR \right)^2}{\left( f + \frac{\lambda_x}{\lambda} \right) R} dR. \quad (102)$$

Для расчета гидравлического сопротивления необходимо рассмотреть уравнения (89) и (91). При постоянных свойствах жидкости коэффициент гидравлического сопротивления

$$\xi = -2d \frac{dp}{dx} \cdot \frac{f}{\rho w^2} = \frac{8 \bar{\rho} w \rho}{(\rho w)^2}, \quad (103)$$

где  $\bar{\rho} w$  — касательное напряжение на стенке.

При переменных свойствах жидкости коэффициент гидравлического сопротивления

$$\xi = -2d \frac{dp}{dx} \frac{\rho_w}{(\bar{\rho} w)^2} = \frac{8 T_w \rho}{(\rho w)^2}, \quad (104)$$

где  $\rho_w$  — плотность жидкости на стенке.

Для определения коэффициента гидравлического сопротивления используем полученное из условий постоянства давлений по сечению канала соотношение

$$\tau/\tau_w = r/r_s = R.$$

При этом профиль скорости

$$w_x(r) = \frac{\tau_w r_s}{\mu_w} \int_r^s \frac{R dR}{\left(1 + \frac{\mu_w}{\mu}(r)\right)}, \quad (105)$$

где  $\mu_w$  - коэффициент динамической вязкости при температуре стены  $T_w$ , а средняя по сечению массовая скорость

$$\bar{w} = \frac{\tau_w}{\mu_w} \int \frac{P}{P_w} R \left[ \int \frac{R dR}{\left(1 + \frac{\mu_w}{\mu}(r)\right)} \right] dR. \quad (106)$$

Коэффициент гидравлического сопротивления

$$\xi = \frac{8}{Re_w} \cdot \int \frac{P}{P_w} R \left[ \int \frac{R dR}{\left(1 + \frac{\mu_w}{\mu}(r)\right)} \right] dR, \quad (107)$$

где  $Re_w = \frac{D_w d}{\mu_w}$  - число Рейнольдса, найденное по значению динамической вязкости при  $T_w$ .

При постоянных физических свойствах жидкости (107) принимают вид

$$\xi = \frac{8}{Re} \cdot \int \frac{R}{\left(1 + \frac{\mu_w}{\mu}(r)\right)} dR. \quad (108)$$

Таким образом, расчет коэффициентов теплоотдачи и гидравлического сопротивления в области стабилизированного течения жидкости сводится к вычислению интегралов (101) и (107). При этом для распределения турбулентных параметров  $\mu_w/\mu$  и  $\lambda_w/\lambda$  можно использовать универсальную зависимость, предложенную Рейнольдсом [3]:

$$\frac{\mu_w}{\mu} = \begin{cases} 0,4(\eta - H \ln \frac{\eta}{H}) & \text{при } 0 < \eta < 50, \\ 0,133 \eta (0,5 + R^2) / (1 + R) & \text{при } \eta > 50, \end{cases} \quad (109)$$

и соотношением

$$\frac{\lambda_w}{\lambda} = Pr \frac{\mu_w}{\mu}. \quad (110)$$

При  $Pr = 1$  существует подобие распределений коэффициентов турбулентной вязкости и теплопроводности. Влияние неизотермичности потока на  $\mu_w/\mu$  можно определить методом Гольдмана, в основе которого лежит гипотеза о том, что в данном случае можно использовать зависимости, полученные при постоянных свойствах жидкости, если заменить обычные переменные  $\psi = \frac{w_x}{\sqrt{\tau_w/\rho}}$  и  $\eta = \frac{\sqrt{\tau_w/\rho}}{u}$  модифицированными переменными

$$\psi^+ = \int_0^\eta \frac{dw_x}{\sqrt{\tau_w/\rho}}, \quad \eta^+ = \int_0^\eta \frac{\sqrt{\tau_w/\rho}}{u} d\eta. \quad (III)$$

При ламинарном течении жидкости  $\lambda_w/\lambda = 0$ ,  $\mu_w/\mu = 0$ ;  $w_x(R)/w = 2(I - R^2)$ . Тогда согласно (102) при постоянных свойствах жидкости получаем стабилизированное значение числа Нуссельта

$$Nu_m = \left[ 2 \int_0^1 \left( \int_0^R \frac{w_x(R)}{w} R dR \right)^2 dR \right]^{1/2} = 4,36. \quad (III2)$$

Зависимость (III2) справедлива при  $q_w = \text{const}$  по длине трубы.

При  $T_w = \text{const}$

$$Nu_m = 3,66. \quad (III3)$$

Для турбулентного течения жидкости при ее постоянных свойствах и  $Re = 10^4 \dots 10^6$ ;  $Pr = 0,5 \dots 2000$ , по данным Б.С. Петухова, В.А. Курганова и А.И. Гладунцова, получаем

$$Nu_m = \frac{\left(\frac{\eta}{S}\right) Re Pr}{1,07 + \frac{900}{Re} - 0,63(I + 1/0Pr) + 12,7 \sqrt{\frac{\eta}{S}} (Pr^{-\frac{2}{5}} - I)}, \quad (III4)$$

где  $I$  определяется по (78) или (79).

Переменность теплофизических свойств существенно влияет на теплоотдачу и гидравлическое сопротивление. Для газов влияние переменности свойств обычно учитывается введением в расчетные зависимости температурного фактора  $\Psi = T_w/T_f$ . Результаты расчетов, полученные Б.С. Петуховым и В.Н. Поповым [4] для турбулентного течения воздуха и водорода в интервале температур  $T_w = 300 \dots 2000$  К,  $T_w/T_f = 1 \dots 4$  при нагревании к  $T_w/T_f = 0,37 \dots 1$  при охлаждении, можно представить в виде

$$\xi = \xi_c \Psi^k; \quad Nu = Nu_c \Psi^n, \quad (III5)$$

где  $\xi_c$  и  $Nu_c$  - коэффициент сопротивления и число Нуссельта, определенные при постоянных физических свойствах жидкости соответственно по формулам (78), (79) и (III4);  $k = -0,52$  и  $n = -0,5$  при нагревании;  $k = -0,38$  и  $n = -\frac{1}{3}$  при охлаждении.

Как видно из (III5), при нагревании газов  $\psi^n < f$  и  $Nu < Nu_c$ , а при охлаждении  $\psi^n > f$  и  $Nu > Nu_c$ , что обясняется следующим образом. Порождение турбулентных циркуляций  $\frac{\partial u'_x}{\partial x} \frac{\partial u'_y}{\partial y}$  происходит главным образом около стени и определяет интенсивность теплообмена. На рис. II показано (по данным Б.С. Петухова) влияние переменных свойств жидкости на распределение по радиусу канала безразмеризированной температуры  $\theta = (T_w - T(y)/T_w - T_0)$  (рис. II, а), скорости  $u'_x(y)/w_0$  (рис. II, в), массовой скорости  $\rho u'_x / (\rho w_0)$  (рис. II, г), плотности теплового потока  $q(y)/q_{w_0}$  (рис. II, б) и коэффициента турбулентной вязкости  $\mu_t / \mu$  (рис. II, д), где индекс "0" относится к параметрам на оси канала. Распределение указанных величин произведено при нагревании (кривая I,  $T_w/T_f = 3,11$ ), охлаждении (кривая 2,  $T_w/T_f = 0,363$ ) и постоянных физических свойствах воздуха (пунктирная линия) при примерно одинаковых значениях  $\text{Re}_w = 4,3 \cdot 10^4$ . Как видно из рисунка, при нагревании профиль массовой скорости более заужен, а при охлаждении – более заширен, чем при изотермическом течении. Падение плотности газа у стени при нагревании снижает интенсивность порождения турбулентности и теплоотдачу. Уменьшает теплоотдачу и снижение турбулентной вязкости близки к стени. Увеличение плотности газа у стени при охлаждении должно повысить теплоотдачу.

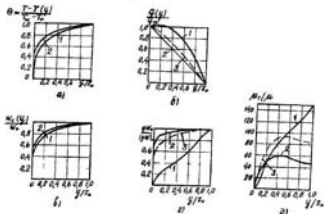


Рис. II

Приведенные расчетные зависимости хорошо согласуются с экспериментальными данными при нагревании газов и хуже – при охлаждении. Согласно экспериментальным данным, полученным Н.И. Артамоновым, Е.И. Даниловым, Г.А. Дрейзером, Э.К. Калинским [2], температурный фактор при охлаждении газов не влияет на теплоотдачу и гидравлическое сопротивление (т.е.  $k = 0$ ,  $\varepsilon = 0$ ). Расхождение результатов теоретического расчета и экспериментальных данных можно объяснить тем, что в расчете не учитывались имеющие место при охлаждении радиальные перетечки газа. В данном случае температура газа на оси трубы падает по ее длине сильнее, чем близко к стенке, что вызывает радиальные перетечки газа от стены к ядру потока (левление, аналогичное ледению), снижающее теплоотдачу.

При нагревании газовых теплоносителей в случае турбулентного гидродинамически стабилизированного течения наиболее широкие диапазоны по  $\text{Re}_f$  и  $T_w/T_f$  охватываютempirical зависимость Тейлора [3] :

$$Nu_f = 0,023 \text{ } \text{Re}_f^{0.8} \text{ } \text{Pr}_f^{0.4} (T_w/T_f)^{-(0.57 - 0.39 \frac{\psi^n}{\psi})}, \quad (III6)$$

обобщавшая опытные данные для водорода, азота и гелия при  $T_w/T_f = 1,1 \dots 23$ ,  $x/d = 2 \dots 252$ ,  $\text{Re}_f = 7500 \dots 1,3 \cdot 10^7$ ,  $T_w = 63 \dots 3130$  К.

При охлаждении газов данные по местной теплоотдаче в диапазоне  $\text{Re}_f = 2 \cdot 10^3 \dots 6 \cdot 10^5$ ,  $T_w/T_f = 0,14 \dots 0,84$ ,  $x/d = 0,85 \dots 91$  обобщены Е.И. Артамоновым, Е.И. Даниловым, Г.А. Дрейзером, Э.К. Калинским формулой для случая гидродинамической стабилизации потока:

$$Nu_f = 0,02 / \text{Re}_f^{0.8} \text{ } \text{Pr}_f^{0.4} \varepsilon_x, \quad (III7)$$

где  $\varepsilon_x$  – поправка на начальный участок для  $x/d = 0,85 \dots 50$ :

$$\varepsilon_x = 3,115 (\text{Re}_f)^{-0.07} (x/d)^{-0.546 (\text{Re}_f)^{-0.167}}. \quad (III8)$$

При  $x/d > 50$   $\varepsilon_x \approx 1$ .

Соотношения (III6) и (III7) получены в опытах с одно- и двухатомными газами, для которых зависимости вязкости и теплопроводности от температурного фактора близки. Экспериментальные данные для трех- и четырехатомных газов показывают, что характер зависимости теплоотдачи от температурного фактора для разных газов неодинаков. Для многоатомных газов эта зависимость гораздо слабее, чем для одно- и двухатомных.

Б.С. Петухов и В.А. Курганов получили обобщенные расчетные формулы в виде (54), справедливые для газов с различным характер-

ром зависимости теплофизических свойств от температуры. Если задана температура стены  $T_w = \text{const}$  (граничное условие первого рода), то обобщенная зависимость для местной теплоотдачи будет

$$Nu_x = f\left(\frac{x}{d}, Re_x, Pr_x, \Psi_w, n_\lambda, n_\mu, n_v\right). \quad (I19)$$

При  $\dot{q}_w = \text{const}$  (граничное условие второго рода) безразмерная температура стени в число  $Nu$  определяется зависимостью

$$\Psi_w = \Psi\left(\frac{x}{d}, Re_x, Pr_x, Q_w, n_\lambda, n_\mu, n_v\right). \quad (I20)$$

Здесь  $\Psi_w = T_w/T_{f_0}$  – безразмерная температура стени;  $Q_w = \dot{q}_w d/\lambda, T_{f_0}$  – безразмерная плотность теплового потока;  $T_{f_0}$  – температура газа на входе.

На основании опытных данных при нагревании шести газов ( $A_1$ ,  $H_2$ ,  $N_2$ , воздух,  $CO_2$ ,  $NH_3$ ) для граничных условий первого рода были получены расчетная формула

$$Nu_x = Nu_c \left( A_w / \lambda_f \right)^{0.5} \left( c_{p_w} / c_{p_f} \right)^{0.4} \Psi_w^{-0.55 + \Phi(x/d) \ln \left( \mu_w / \mu_f \right)}, \quad (I21)$$

где  $\Phi(x/d) = 0, II; 0, 24; 0, 38; 0, 55; 0, 73; 0, 89; I, 02; I, 13; I, 21; I, 27; I, 50$  для  $x/d = 10; 20; 30; 40; 50; 60; 70; 80; 90; 100$  в – соответственно;  $Nu_c$  – число Нуссельта, определяемое при постоянных теплофизическими свойствах газов.

Формула (I21) справедлива при  $Re_x > 7 \cdot 10^3$ ;  $\dot{q}_w / \rho_w c_p T_{f_0} < 0,006 \dots 0,007$ ;  $\Psi_w < 4$ . Обобщенная зависимость для граничных условий второго рода имеет вид

$$Nu_x = Nu_c \exp \left\{ -K_f [ \alpha \Psi(x/d) + n_\mu \Phi(x/d) K_f ] \right\}, \quad (I22)$$

где  $\alpha = 0,53 - \frac{f}{3} n_\lambda - \frac{f}{3} n_v$ ;  $\Psi(x/d) = f - \exp(-x/10d)$ ;  $\Phi(x/d) = 1,25(x/100d)^2 / [f + (x/100d)^2]$ ;  $K_f = Q_w / Nu_c$  – параметр интенсивности подвода тепла.

Формула (I22), записанная в виде

$$\Psi_w = f + K_f \exp \left\{ K_f [\alpha \Psi + n_\mu \Phi, K_f] \right\}, \quad (I23)$$

позволяет рассчитать температуру стени по заданным  $\dot{q}_w, d, \rho_w c_p, T_f$ . Для одноатомных газов  $\alpha = 0,30, n_\mu = 0,67$ ; для двухатомных газов  $\alpha = 0,26, n_\mu = 0,70$ ; для  $CO_2$ ,  $\alpha = 0,09, n_\mu = 0,77$ ; для водяного пара (373...1200 К)  $\alpha = 0,013, n_\mu = 1,18$ ; для  $NH_3$ ,  $\alpha = -0,04, n_\mu = 0,92$ ; для  $CH_4$  (300...1200 К)  $\alpha = -0,097, n_\mu = 0,71$ . Формулы (I22) и (I23) справедливы при  $(\dot{q}_w / \rho_w c_p T_{f_0}) < 0,008$ .

Расчет  $Nu_c$  производится по формуле

$$Nu_c = c_{\infty} Nu_{\infty}, \quad (I24)$$

где  $Nu_{\infty}$  определяется по (II4).

Накривка на термический начальный участок при гидродинамической стабилизации потока для  $(x/d) > 0,1, Pr = 0,65 \dots 1, Re = 4 \cdot 10^3 \dots 5 \cdot 10^6$  разн.

$$c_{\infty} = f + \frac{0,48 (f + 3600 / Re \sqrt{\pi / d})}{(\pi c / d)^{1/4}} e^{-0,17 \frac{\pi}{d}}. \quad (I25)$$

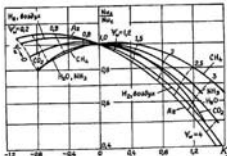


Рис. I2

На рис. I2 показана зависимость  $Nu_x / Nu_c$  от  $K_f$  по (I22) при  $x/d = 60$  для некоторых газов [5]. На том же рисунке штриховыми линиями изображены кривые, соответствующие постоянным значениям  $\Psi_w$ , рассчитанным по уравнению (I23). При нагревании ( $K_f > 0$  и  $\Psi_w > 0$ ) кривые для многоатомных газов расположены выше, чем для одно- и двухатомных, что объясняется более сильной зависимостью теплопроводности многоатомных газов от температуры. Экстраполяция уравнения (I22) на охлаждение газа ( $K_f < 0$  и  $\Psi_w < 0$ ) не противоречит экспериментальным данным и теоретическим расчетам. Как и опытные данные по теплоотдаче при охлаждении двухатомных газов, результаты расчета Б.С. Петухова, Н.Л. Максина, А.Б. Полихова показывают, что в пределах погрешности экспериментов и расчетов  $\pm 10\% Nu_x / Nu_c = f$ . Из уравнения (I22) видно, что при охлаждении многоатомных газов  $Nu_x / Nu_c$  возрастает с увеличением  $|K_f|$ . При ламинарном стабилизированном течении газов в канале и отсутствии естественной конвекции

ции влияние переменности физических свойств качественно такое же, как и при турбулентном. В этом случае, согласно расчетам Б.С. Петухова, В.Д. Баленского, Б.Е. Карина, теплоотдача и сопротивление трения для воздуха и водорода обобщаются зависимостями

$$Nu_f = Nu_{\infty} [f + B(f + \psi^n)]; \quad \psi = \psi_c [f + C(\psi^k - f)], \quad (I26)$$

где  $B, C, n, k$  — константы; при нагревании водорода  $B = 0,0065$ ,  $n = 5$ ,  $C = 0,23$ ,  $k = 3/2$ ; при нагревании воздуха  $B = 0,029$ ,  $n = 3$ ,  $C = 0,23$ ,  $k = 3/2$ ; при охлаждении водорода и воздуха  $B = 0,065$ ,  $n = 1$ ,  $C = 0,36$ ,  $k = 1$ ;  $Nu_{\infty}$  и  $\psi_c$  определяются по формулам (II2) и (70) соответственно;  $Nu$  и  $\psi$ , входящие в уравнения (II5) и (I26), находятся по средней температуре теплоносителя  $T_f$ . Более точные расчетные зависимости, определяющие теплообмен и сопротивление трения при ламинарном течении газа с переменными свойствами, приведены в [13].

У канальных изометрических жидкостей, для которых  $Pr_f < 100$ , влияние переменности физических свойств при турбулентном гидродинамическом стабилизированном течении учитывается безразмерным параметром  $Pr_f/Pr_{\infty}$ , т.е.

$$Nu_f = Nu_{\infty} (Pr_f/Pr_{\infty})^n, \quad (I27)$$

где  $Pr_{\infty}, Pr_f$  определяются по  $T_{\infty}$  и  $T_f$ ;  $n = 0,25$  при охлаждении ( $T_{\infty} < T_f$ );  $n = 0,05$  при нагревании ( $T_{\infty} > T_f$ );  $Nu_{\infty}$  определяется по (I24).

Как видно из (I27), при нагревании жидкости  $Pr_f > Pr_{\infty}$  (так как  $\mu_f > \mu_{\infty}$  — вязкость жидкости с ростом температуры падает) и  $Nu_f > Nu_{\infty}$ . При охлаждении жидкости, наоборот,  $Pr_f < Pr_{\infty}$  и  $Nu_f < Nu_{\infty}$ . Объясняется это следующим образом. Так как при нагревании жидкости ее вязкость у стены меньше, чем в ядре потока, скорость у стены увеличивается, профиль становится более выпуклым, что и приводит к росту теплоотдачи по сравнению с изотермическим течением. При охлаждении, наоборот, вязкость у стены увеличивается, скорость уменьшается и теплоотдача падает. На рис. 13 показаны профили скорости жидкости для изотермического течения (кривая 1), при нагревании (кривая 2) и охлаждении (кривая 3).

В этом случае коэффициент сопротивления трения

$$\tau = \tau_c (\mu_{\infty}/\mu_f)^k, \quad (I28)$$



Рис. 13

где  $\mu_{\infty}$  и  $\mu_f$  — коэффициенты динамической вязкости, полученные при  $T_{\infty}$  и  $T_f$ ;  $k = 0,23 Pr_f^{-0,05}$  при охлаждении жидкости и  $k = 0,14$  при нагревании жидкости;  $\tau_c$  определяется по формуле (78) или (79).

Для ламинарного стабилизированного течения канальной жидкости при отсутствии естественной конвекции результаты расчетных и опытных данных по теплоотдаче и гидравлическому сопротивлению обобщаются зависимостями

$$Nu_f = Nu_{\infty} (\rho_w/\rho_f)^{0,25} (\mu_{\infty}/\mu_f)^n; \quad \psi = \psi_c [f + A[(\mu_{\infty}/\mu_f)^k - f]], \quad (I29)$$

где  $Nu_{\infty}$  и  $\psi_c$  — число Нуселта и коэффициент сопротивления трения при изотермических условиях, полученные по (II2) и (70);  $\rho_w$ ,  $\rho_f$  — плотность жидкости, определенные по  $T_{\infty}$  и  $T_f$ .

Согласно [13] постоянные  $A, n, k$  для воды и масла типа МС-20 составляют:  $n = -0,13$  при нагревании и  $n = -0,14$  при охлаждении;  $k = 0,38$  и  $A = 1,38$  при нагревании и охлаждении масла и нагревании воды;  $k = 0,016$  и  $A = 38,6$  при охлаждении воды.

Теплоотдача жидких металлов удовлетворительно обобщается зависимостью В.И. Субботина, М.Х. Ибрагимова, Е.В. Номохилова

$$Nu_f = 5,0 + 0,025 Re^{0,8}, \quad (I30)$$

справедливой для  $Re = 10^5 \dots 10^6$ ;  $Re = 10^4 \dots 5 \cdot 10^5$ .

## 7. ТЕПЛООДАЧА НА НАЧАЛЬНОМ УЧАСТИКЕ ТРУБЫ

Начальный участок канала характеризуется тем, что в нем динамический и тепловой пограничные слои потока жидкости еще не соединились, т.е. происходит формирование профилей скорости и температуры. В этих условиях коэффициенты теплоотдачи и гидравлического сопротивления являются функцией расстояния от входного сечения канала.

Рассмотрим начальную стабилизацию потока, т.е. будем считать, что динамические пограничные слои соединились и имеют место динамическая стабилизация потока. Практически это соответствует случаю, когда начало обогрева (или охлаждения) канала совпадает с моментом наступления гидродинамической стабилизации. В этом случае, если свойства жидкости постоянны, профиль скорости по длине канала не изменяется, а профиль температуры формируется на длине  $t_*$ .

При ламинарном течении жидкости  $t_*$  зависит от граничных условий за сечении трубы. Если длина  $t_*$  определяется из условия  $Nu_{x=t_*} = 1,01 Nu_{\infty}$ , то при  $q_w = \text{const}$  согласно [13]  $t_*$  будет

$$t_*/d = 0,07 Re, \quad (I31)$$

а при  $T_w = \text{const}$

$$t_v/d = 0,05 \text{ Re}, \quad (132)$$

т.е. при  $T_w = \text{const}$  тепловая стабилизация наступает раньше, чем при  $q_w = \text{const}$ . Значения коэффициентов теплоотдачи при ламинарном режиме течения жидкости для граничных условий  $q_w = \text{const}$  и  $T_w = \text{const}$  не совпадают ни на участке стабилизации, ни за ним (что видно из формул (III2) и (III3)).

При малых значениях приведенной длины  $X_f = \frac{f}{Re} \cdot \frac{x}{d}$  удобно пользоваться приближенными интерполяционными зависимостями [12], обеспечивающими удовлетворительную точность при практических расчетах:

при  $q_w = \text{const}$

$$Nu_m = \begin{cases} 1,3f\left(\frac{f}{Re} \cdot \frac{x}{d}\right)^{-\frac{1}{2}} \left(1 + \frac{2}{Re} \cdot \frac{x}{d}\right), & \text{если } \frac{f}{Re} \cdot \frac{x}{d} < 0,037; \\ 4,36, & \text{если } \frac{f}{Re} \cdot \frac{x}{d} \geq 0,037; \end{cases} \quad (133)$$

при  $T_w = \text{const}$

$$Nu_m = \begin{cases} 1,077\left(\frac{f}{Re} \cdot \frac{x}{d}\right)^{\frac{1}{2}} - 1,7, & \text{если } \frac{f}{Re} \cdot \frac{x}{d} < 10^{-4}; \\ 3,655 + \frac{0,2355}{\left(\frac{f}{Re} \cdot \frac{x}{d}\right)^{0,488}} \exp\left(5,72 \frac{f}{Re} \cdot \frac{x}{d}\right), & \text{если } \frac{f}{Re} \cdot \frac{x}{d} \geq 10^{-4}. \end{cases} \quad (134)$$

Соотношения (133) и (134), строго говоря, справедливы для жидкостей с постоянными свойствами. Практически это соответствует реальным теплообменам, при которых перепад температур в потоке жидкости небольшой. Если перепад температур значителен, то изменение физических свойств жидкости оказывает существенное влияние на поля скоростей и температур, и для расчета теплообмена используют зависимости, полученные экспериментально.

При  $q_w = \text{const}$  по длине канала экспериментальные данные удовлетворительно обобщаются зависимостью, полученной М.А. Михеевым, С.С. Филипповым и Б.А. Крусталевым [12]:

$$Nu_m = 1,3\left(\frac{f}{Re} \cdot \frac{x}{d}\right)^{-\frac{1}{2}} \left(1 + \frac{2}{Re} \cdot \frac{x}{d}\right) \left(\frac{\mu_w}{\mu_f}\right)^{-\frac{1}{2}}. \quad (135)$$

Чтобы приближенно учесть зависимость  $\lambda$  и  $\alpha$  от температуры, значения этих параметров в выражениях для  $Nu_m$  и  $Re_m$  определяются при температуре  $T_m = \frac{1}{2}(T_w + T_f)$ . Уравнение (135) охватывает область значений  $Re < 2300$ ,  $\frac{f}{Re} \cdot \frac{x}{d} < 0,4$  и  $0,04 < \mu_w/\mu_f < 1$  и справедливо для гидродинамически стабилизированного течения при нагревании жидкостей, вязкость которых убывает с ростом температуры.

При  $T_w = \text{const}$  по длине канала экспериментальные данные удовлетворительно обобщаются зависимостью, полученной Б.С. Петуховым, Е.А. Красновским и Л.Д. Нольде:

$$Nu_m = 1,03 \left(\frac{f}{Re_m} \cdot \frac{x}{d}\right)^{-\frac{1}{2}} \left(\frac{\mu_w}{\mu_f}\right)^{-0,14}. \quad (136)$$

Уравнение (136) справедливо при  $\frac{f}{Re} \cdot \frac{x}{d} < 0,01$  и  $0,07 < \mu_w/\mu_f < 1,500$  как при постоянной, так и слабо меняющейся по длине трубы температуре стены.

На рис. 14 показано изменение числа  $Nu$  по длине круглой трубы при  $q_w = \text{const}$  (сплошная линия) и  $T_w = \text{const}$  (пунктирная линия), рассчитанное по (133) и (134). Снижение коэффициента теплоотдачи по длине канала обусловлено ростом толщины теплового пограничного слоя (см. рис. 5) и падением градиента температуры у стени ( $\partial T/\partial n_{\text{ст}}$ ) пропорционально коэффициенту теплоотдачи (формула (18)).

Если вход жидкости в канал совпадает с началом обогрева (или охлаждения), то процесс теплообмена протекает в гидродинамическом начальном участке, т.е. при изменении профиля скорости по длине канала. В зависимости от числа  $Pr$  толщина теплового пограничного слоя может быть больше (при  $Pr < f$ ) или меньше (при  $Pr > f$ ) толщиной динамического пограничного слоя. При  $Pr = 1$  они приблизительно одинаковы. Приведение длины теплового к гидродинамическому начальным участкам ( $\frac{f}{Re} \cdot \frac{x}{d}$ ) и ( $\frac{f}{Re} \cdot \frac{L_p}{d}$ ) при ламинарном режиме течения жидкости, как следует из сравнения формул (80), (131), (132), имеет приблизительно одинаковые числовые значения. Приведя их, находим  $L_p = Pr \cdot L_f$ .

В зависимости от числа  $Pr$  возможны три характерных случая:  
1)  $Pr > f$ ,  $L_p > L_f$ ; 2)  $Pr < f$ ,  $L_p < L_f$ ; 3)  $Pr \approx f$ ,  $L_p = L_f$ .

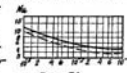


Рис. 14

В первом случае профиль скорости почти по всей длине теплового участка близок к стабилизированному, так как  $t_w \gg t_\tau$ . Следовательно, если длина канала  $t \gg t_\tau$ , то теплоотдачу с известным приближением можно рассчитать по уравнениям для гидродинамически стабилизированного течения.

Во втором случае при  $t_w \gg t_\tau$  приближение можно считать, что по всей длине теплового начального участка профиль скорости близок к однородному.

Во всех других случаях при расчете теплообмена необходимо учитывать изменение профиля скорости по длине.

Приближенный теоретический анализ и результаты экспериментов для ламинарного гидродинамически нестабилизированного течения жидкостей приведены в [13]. Расчетные и экспериментальные данные для воды и масла, полученные при ламинарном течении, удовлетворительно обобщаются зависимостью

$$Nu_m = f_{\text{st}} \cdot \epsilon \left( \frac{f}{Re_m} - \frac{x}{d} \right)^{\frac{1}{2}} \left( f + 2 \cdot \frac{\rho}{Re_m} \cdot \frac{dx}{d} \left( \frac{\mu_w}{\mu_f} \right)^{\frac{1}{2}} \right)^{\frac{1}{2}}, \quad (137)$$

где

$$\epsilon = 0,35 \left( \frac{f}{Re_m} - \frac{x}{d} \right)^{\frac{1}{2}} \left[ f + 2,85 \left( \frac{f}{Re_m} - \frac{x}{d} \right)^{0,42} \right].$$

Физические свойства жидкости в уравнении (137) для  $Nu_m$ ,  $Re_m$ ,  $Re$  определяются при температуре  $T_m = 0,5$  ( $\tau_w + \tau_f$ ). Уравнение (137) охватывает всю область течения, за исключением ту его часть, на которой происходит формирование профиля скорости, и справедливо в диапазоне параметров  $10^{-4} < \frac{f}{Re_m} - \frac{x}{d} < 0,064$ ,  $0,7 < Re_m < 1000$ ,  $Re_m < 2500$ .

При турбулентном течении жидкости внутри труб процесс стабилизации движения и теплообмена в потоке происходит быстрее, чем при ламинарном. В условиях гидродинамической стабилизации длина теплового участка стабилизации для газов соответствует  $t_w/d = 20 \dots 30$ , а для капельных жидкостей  $t_w/d = 10 \dots 15$ .

Характер изменения коэффициента теплоотдачи на начальном участке труб при турбулентном течении жидкости зависит от формы входа в число  $Re$ . На рис. 15 приведены графики изменения коэффициента теплоотдачи по длине трубы: 1 — для острой кромки, 2 — для плавного входа и 3 — для начального необогреваемого участка гидродинамической стабилизации. При плавном входе жидкости в трубу коэффициент теплоотдачи сначала резко уменьшается, затем несколько возрастает, в потом постепенно уменьшается. На расстоянии 8...10 диаметров

труб от входа коэффициенты теплоотдачи при плавном входе жидкости (кривая 2) и стабилизированном течении (кривая 3) становятся практически одинаковыми.

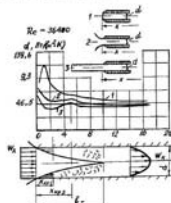


Рис. 15

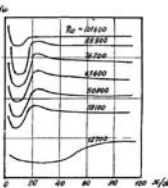


Рис. 16

На рис. 16 показано зависимость коэффициента теплоотдачи от расстояния от входа для различных чисел Рейнольдса при одновременной тепловой и гидродинамической стабилизации в плавном входе жидкости в трубу. Резкое уменьшение коэффициента теплоотдачи вызывает увеличением толщины пограничного слоя, который образуется у стенки трубы и имеет ламинарный характер течения на расстоянии  $x_{sp}$ , (см. рис. 15). Затем теплоотдача увеличивается в связи с тем, что ламинарный режим течения в пограничном слое переходит в турбулентный (переходная область между сечениями  $x_{sp}$  и  $x_{sp_2}$ ). При турбулентном режиме течения в пограничном слое при его росте (между сечениями  $x_{sp_2}$  и  $t_w$ ) коэффициент теплоотдачи несколько снижается. При  $x > t_w$  коэффициент теплоотдачи практически не меняется. При малых  $Re$  (нижняя кривая на рис. 16) ламинарная зона в переходной области становится значительной. С ростом  $Re$  ее величина уменьшается, и из большой части длины трубы поток жидкости у стенки имеет турбулентный характер. С увеличением возмущений на входе переход ламинарного течения жидкости в турбулентное осуществляется при  $Re_{sp_2} = u x_{sp_2} / \nu$ , и не с самого начала течения жидкость может приобретать турбулент-

ный характер, что имеет место при острой кромке трубы (на рис. 15 коэффициент теплоотдачи возрастает на входе в 2,2 раза).

Таким образом, увеличение коэффициента теплоотдачи на протяжении всего начального участка трубы происходит только при турбулентном течении в пограничном слое, характерном для острой кромки на входе.

При турбулентном течении канальной жидкости и наличии гидродинамической стабилизации потока на входе результаты опытов обобщаются зависимостью С.С. Филимонова и Б.А. Крусталова

$$Nu = Nu_{\infty} \left( 1 + 0.5 \frac{d}{x} \right), \quad (138)$$

где  $Nu_{\infty}$  — стабилизированное значение числа  $Nu$  дальше от входа, определяемое по уравнению (127).

Для острой кромки на входе (138) принимает вид

$$\frac{Nu_x}{Nu_{\infty}} = 1 + \frac{d}{x} \left( \frac{6 \cdot 10^{-5}}{Re_{x_0}} + 0.06 Re_{x_0}^{0.25} \right), \quad (139)$$

где  $Re_{x_0}$  — число  $Re$ , найденное по температуре жидкости на входе в трубу.

Формулы (133) — (139) позволяют определить местные коэффициенты теплоотдачи. Средние значения коэффициентов теплоотдачи по длине трубы можно получить, пронтегрировав  $\omega(x)$  с учетом (30) или (31). На рис. 17 показано изменение по длине трубы местного (сплошная линия) и среднего (пунктир) значений чисел Нуссельта. Как видно из рисунка, при  $x > x_*$  среднее значение коэффициента теплоотдачи равно стабилизированному ( $Nu = Nu_{\infty}$ ). Для турбулентного режима течения  $T_*$  незначительно превышает  $t_*$ .

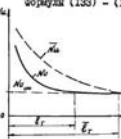


Рис. 17

**8. ТЕПЛООМЕНЬ В ОБЛАСТИ ПЕРЕХОДА ОТ ЛАМИНАРНОГО РЕЖИМА ТЕЧЕНИЯ К ТУРБУЛЕНТНОМУ**

Переход ламинарного режима течения к турбулентному в гладкой трубе при примерно одинаковом числе  $Re_{\infty} = 2300$  был установлен еще в 1883 г. О. Рейнольдсом. Им же первым было высказано предположение, что  $Re_{\infty}$  зависит от степени возмущения потока на входе. Позднее экспериментально удалось получить  $Re = 5 \cdot 10^4$  путем гидравлического устранения внешних возмущений потока.

Возможность перехода от ламинарного режима течения к турбулентному в структуре потока в трубе зависит от целого ряда факторов: числа  $Re$ , степени возмущенности потока на входе, условий входа (плоский вход, острая кромка), длины трубы, направления и величины теплового потока, звуковых волн и механических вибраций. Экспериментально установлено, что при  $Re < 1900$  любые возмущения на входе в гладкую трубу, какими бы интенсивными они не были, затухают, т.е.  $Re_{\infty} = 1900$  является минимальным числом Рейнольдса, при котором возможен рассматриваемый переход. При  $Re > Re_{\infty}$ , за входных участках труб сохраняется ламинарный пограничный слой, независимо от условий на входе, причем с ростом  $Re$  начинает перехода смещается в сторону. Ламинарный пограничный слой сохраняется на входе до определенного числа  $Re_{\infty_2}$ . Если  $Re > Re_{\infty_2}$ , то на входе в трубу сразу образуется турбулентный пограничный слой. Для входа с острой кромкой  $Re_{\infty_2} = 2 \cdot 10^4$ , для плоского входа  $Re_{\infty_2} = (1 \dots 2) \cdot 10^5$ . Для  $Re_{\infty} < Re < Re_{\infty_2}$  характерна перемежаемость течения потока, представляющая собой чередование участков с ламинарной и турбулентной структурой. Практической перемежаемостью является потеря устойчивости ламинарного течения, т.е. возникновение и развитие турбулентных пробок внутри ламинарного потока. Между этими пробками сохраняется ламинарный и турбулентный состояния. Переход происходит через неравномерные промежутки времени.

Для характеристики течения в области перехода используется коэффициент перемежаемости  $\omega$ , показывающий, какую часть времени в данном сечении трубы существует турбулентное течение. При  $\omega = 0$  структура потока, как правило, ламинарная; при  $\omega = 1$  — полностью турбулентная. В области перемежаемости  $0 < \omega < 1$ .

На рис. 18 приведена зависимость  $\omega$  от расстояния от входа  $x/d$  для различных чисел  $Re$ . Коэффициент перемежаемости растет по мере удаления от входа и пропорционален числу  $Re$ . Это объясняется тем, что скорость перемещения фронта турбулентной пробки больше скорости тыльной ее части, и поэтому она непрерывно увеличивается в размерах.

Отметим, что перемежаемость течения должна обуславливать колебания во времени местного коэффициента теплоотдачи. При подводе тепла при  $T_w = \text{const}$  это приведет к колебаниям местного теплового потока, а при  $g_w = \text{const}$  — к колебаниям температуры стены. На рис. 19 приведены полученные в работе [14] данные о колебаниях температуры стены трубы в сечении  $x/d = 73$  от начала обогрева при нагревании водой в различных  $Re$ . Колебания температуры явля-

ится следствием чередований условий теплообмена, соответствующих прохождению участков с ламинарной и турбулентной структурами. Максимум температуры стены соответствует ламинарному течению, минимум — турбулентному. Колебания возникают при  $Re \approx 2000$ . По мере роста  $Re$  увеличиваются амплитуды и частота колебаний температуры стени, причем изменение температуры во времени приобретает симметричный характер относительно максимумов (минимумов) температуры. При  $Re > 2400$  амплитуда колебаний температуры стени заметно уменьшается.

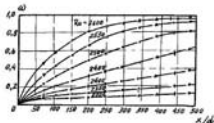


Рис. 18

На рис. 20 те же данные представлены в виде зависимости безразмерных отношений  $\Delta T_{\max}/\Delta T_{\min}$  от числа Рейнольдса для различных  $x/d$ . Здесь  $\Delta T_{\min}$  — минимальный температурный напор между стенкой и жидкостью в момент прохождения через рассматриваемое сечение турбулентной пробки при фиксированном  $Re$ ;  $\Delta T_{\max}$  — максимальный температурный напор, соответствующий участку с ламинарным течением. По мере приближения к началу обогрева амплитуды колебаний уменьшаются, причем максимум амплитуд смещается в сторону больших  $Re$ .

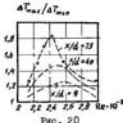


Рис. 20

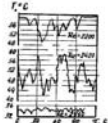


Рис. 19

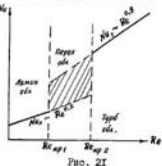


Рис. 21

В случае бесконечно тонкой стени амплитуды колебаний ее температуры будут максимальными. Они определяются из соотношения коэффициентов теплоотдачи:

$$\Delta T_{\max}/\Delta T_{\min} = \Delta T_s/\Delta T_t = \lambda_s/\lambda_t = Nu_s/Nu_t, \quad (140)$$

где индекс "т" соответствует турбулентному режиму течения, а индекс "л" — ламинарному.

При  $Re = 2400$  отношение (140), полученное для чисел  $Nu_s$  и  $Nu_t$  в стационарных условиях, равно примерно 3 для  $x/d = 73$ . При конечной толщине стени  $\Delta T_{\max}/\Delta T_{\min}$  уменьшается по сравнению с (140) за счет изменения теплоизделия в жидкости при нестационарном нагреве или охлаждении стеки. Таким образом, в переходной области чисел Рейнольдса наблюдается неустойчивость локальных коэффициентов теплоотдачи по времени. Амплитуда и частота колебаний коэффициентов теплоотдачи зависят от числа Рейнольдса и расстояния от входа в трубу. Амплитуды колебаний локальных коэффициентов теплоотдачи следует оценивать по  $Nu_s$  и  $Nu_t$ , полученным по соответствующим зависимостям при заданном числе Рейнольдсов. На рис. 21 заштрихованы зоны возможных изменений локальных чисел  $Nu$  для переходной области. Частота колебаний лежит в пределах 0...5 Гц.

#### 9. НЕСТАЦИОНАРНЫЙ КОНВЕКТИВНЫЙ ТЕПЛООБМЕН В ТРУБАХ

Повысивший интерес, проливаемый в настоящее время к процессам нестационарного конвективного теплообмена в каналах, объясняется тем, что в современных энергетических установках, теплообменных аппаратах и технологической аппаратуре, работающих с высокой энергоинтенсивностью, эти процессы характеризуются высокими скоростями изменения параметров и являются в ряде случаев определяющими.

В большинстве случаев течение в каналах турбулентное, поэтому будем рассматривать нестационарный турбулентный теплообмен [9 - II].

В теоретических исследованиях используется гипотеза о квазистационарной турбулентной структуре потока, хотя турбулентная структура потока в нестационарных условиях может существенно отличаться от квазистационарной. Поэтому теоретические исследования целесообразно сочетать с экспериментальными. Необходимо отметить, что, несмотря на наличие, например, в работах [9 - II] расчетных формул, на практике до сих пор используют так называемые квазистационарные зависимости, когда для каждого момента нестационарного процесса

теплообмен рассчитывается по формулам стационарного процесса при параметрах, значения которых разны мгновенным значениям параметров нестационарного процесса в рассматриваемый момент времени.

В общем случае целью расчета нестационарного процесса теплообмена при течении теплоносителей в каналах является определение нестационарных полей скоростей и температур в потоке теплоносителя и полей температур и термических напряжений в материале конструкций, окружающих поток. Как правило, для потока достаточно знать лишь среднемассовую температуру, среднекрасходную скорость и перепады давления потока.

Задача нестационарного теплообмена в каналах является сопряженной, так как математическая модель для описания теплообмена и гидродинамики в теплоносителе дополняется уравнениями теплопроводности материала конструкции и условиями сопряжения на границе между теплоносителем и стенкой. Теоретическое решение такой задачи встречает пока непреодолимые трудности, связанные с большим объемом вычислений и невозможностью получить для турбулентных нестационарных течений замкнутую систему уравнений из-за отсутствия экспериментальных данных о структуре турбулентного потока в нестационарных и неизотермических условиях.

Поскольку построение методов расчета на основе решений трехмерных сопряженных задач практически невозможно, наиболее целесообразным представляется построение инженерных методов расчета на основе решения сопряженных задач при одномерном описании процессов в теплоносителе. Такой подход существенно упрощает математическую формулировку задачи, делая ее вполне разрешимой для численного расчета на современных ЭВМ. В этом случае к уравнению теплопроводности для стекок канала добавляют одномерные уравнения движения, энергии и неравенства для потока. Данная система замыкается, если известны зависимости для коэффициента теплоотдачи и коэффициента гидравлического сопротивления. Эти уравнения, как правило, можно получить только экспериментальным путем. Коэффициент теплоотдачи

$$\alpha(x, t) = \frac{q_w(x, t)}{T_w(x, t) - T_f(x, t)}, \quad (14)$$

где  $q_w$  - плотность теплового потока на стекке;  $T_w$  - температура стекки;  $T_f$  - среднемассовая температура потока в рассматриваемом сечении канала  $x$  в момент времени  $t$ .

В нестационарных условиях теплообмен определяется не только параметрами, характеризующими стационарный теплообмен (числом Рейнольдса и Франкли, расходом от входа  $\alpha/d$ , параметрами,

учитывающими изменчивость свойств теплоносителя), но и законами изменения граничных условий: расхода  $G$ , температуры стекки  $T_w$  или плотности теплового потока на ней  $q_w$ . При турбулентном течении для подавляющего большинства практически реализуемых законов изменения этих условий можно ограничиться линейными членами разложения и учесть влияние нестационарности на теплообмен с помощью первых производных от  $T_w$  или  $q_w$  по времени и длине  $x$  от расхода по времени или соответствующими бесконечно малыми параметрами.

В общем случае для нестационарного турбулентного течения в канале зависимость для числа Нуссельта имеет вид

$$Nu_f = f_1(\alpha/d, Re_f, Pr_f, \mu_w/\mu_f, \lambda_w/\lambda_f, \rho_w/\rho_f, \varepsilon_{tw}/c_p, K_{fr}, K_{fr}^*), \quad (142)$$

$$K_{fr}^*, K_{fr}),$$

где  $K_{fr} = \frac{\partial T_w}{\partial x} \frac{x^2}{\theta_w^2}$  учитывает влияние  $q_w(t)$  на конвективный теплообмен за счет наложения нестационарной теплопроводности;  $K_{fr}^* = \frac{\partial \mu_w}{\partial x} \frac{d}{\theta_w}$  учитывает влияние изменения  $q_w$  по длине канала (аналогично зависимости можно получить через  $\partial T_w/\partial t$  и  $\partial T_w/\partial x$ );  $K_{fr}^* = \frac{\partial T_w}{\partial t} \beta_w d \sqrt{\frac{\lambda}{c_p \theta_w^2}}$  учитывает влияние на нестационарный теплообмен изменения турбулентности структуры потока при изменении  $T_w$  в постоянном расходе;  $K_{fr} = \frac{dG}{dt} \frac{d^2}{\theta_w^2}$  учитывает влияние изменения расхода. Здесь  $d$  - диаметр трубы;  $\alpha, \varphi$  - коэффициенты температуропроводности и кинематической вязкости;  $\beta_w$  - коэффициент объемного расширения теплоносителя при температуре стекки;  $\gamma = 9,6 \text{ м/с}^2$ .

Численный расчет [11], выполненный для стационарного нагрева воздуха при  $Re_f = (1,6...2,3) \cdot 10^5$ ,  $T_w/T_f = 1...2,2$ ,  $K_{fr} = -0,01...0,013$  с учетом изменчивости свойств газа, в эксперимент, проведенный в обогреваемой электрическим током трубе с переменной толщиной стекки диаметром  $d = 6,05$  мм, длиной  $l = 101$  мм при  $Re_f = (2,24...17,3) \cdot 10^4$ ,  $T_w/T_f = 1,06...2,2$ ,  $|K_{fr}| = 0,005...0,013$ , показал, что при реальных значениях  $K_{fr}$  его влияние на теплообмен несущественно и поэтому не учитывалось при обобщении опытных данных.

Изменение  $T_w$  по времени влияет на интенсивность теплообмена в результате перестройки профиля температур, вызванной наложением нестационарной теплопроводности на стационарный конвективный теплообмен. При  $\partial T_w/\partial t > 0$  теплоотдача выше стационарной ( $\lambda = Nu/Nu_s f$ , где  $Nu_s$  - квазистационарное значение  $Nu$ ), а при  $\partial T_w/\partial t < 0$  - ниже ( $f < 1$ ). Расчет этого влияния для турбулентного течения воздуха

на участке гидродинамической стабилизации выполняется в предположении, что структура турбулентности квазистационарная с учетом переменности свойств газа. Считали также, что расход газа постоянный, а  $g_{\infty}(x, t)$  возрастает по времени.

#### Уравнение энергии

$$\rho \frac{\partial T}{\partial t} + \rho c_p \frac{\partial T}{\partial x} = \frac{1}{r} \frac{\partial}{\partial r} \left[ (\lambda + \rho c_p \epsilon_1) \frac{dT}{dr} \right] \quad (143)$$

рассматривалось при подтверждении предварительными расчетами аппроксимации распределения плотности теплового потока по радиусу поливинилом:

$$T = (\lambda + \rho c_p \epsilon_1) \frac{\partial T}{\partial r} = g_{\infty} (a_0 + a_1 R + a_2 R^2 + a_3 R^3). \quad (144)$$

Здесь  $r$  - радиус;  $\epsilon_1$  - энтальпия;  $a_0$  - продольная скорость;  $c_p$  - коэффициент турбулентной температуропроводности;  $R = r/r_o$ ;  $r_o$  - радиус трубы.

Турбулентную структуру потока рассчитывали по формуле Рейхардта: для учета переменности свойств газа безразмерное расстояние от стены  $\eta = \sqrt{f/32} Re_{\infty} (t - R)$  определяли по значениям  $r$  и  $\mu$  при  $T_w$ . Расчет обеспечивал сходимость найденной интегрированием среднемассовой энтальпии с ее значением, полученным решением одномерного уравнения энергии.

Было показано, что благодаря высокой температуропроводности газа влияние нестационарной теплопроводности незначительно, и его расчетное значение существенно меньше, чем полученное в эксперименте. На рис. 22 представлена зависимость нестационарного теплообмена от параметра  $K$  тепловой нестационарности

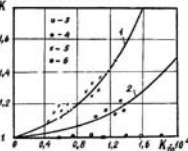


Рис. 22

На рисунке 1, 2 - экспериментальные данные; 3, 4 - расчет по квазистационарной турбулентности; 5, 6 - расчет по нестационарной турбулентности; для 1, 3, 5 число  $Re_f = 10^5$ ; для 2, 4, 6 число  $Re_f = 4 \cdot 10^5$ . Для жидкостей из-за более низкой их температуропроводности этот эффект значительнее, однако экспериментальные данные также расходятся с расчетными. Расхождение объясняется изменением турбулентной структуры при прогреве или охлаждении пристенного

слоя. При прогреве пристенного слоя коэффициент турбулентной теплопроводности  $\lambda_+$  возрастает, а при охлаждении падает.

При анализе этого явления использовались результаты, полученные в работах Кордко, Бродка, Клейна и других авторов, в которых показано, что в пристенном слое в зоне  $5 < \eta < 15$  периодически возникают выхревые структуры, выбрасываемые в отдаление слоя. Взаимодействие этих выбросов с основным потоком, главным образом в зоне  $7 < \eta < 15$ , порождает турбулентность, причем интенсивность и средняя частота возникновения выбросов является функцией параметров среднеподвижного течения.

Можно предполагать, что в условиях нестационарного прогревания потока при  $\partial T_w / \partial t > 0$  замедленная масса газа у стены усиливает супротивление нагреваться и расширяться, что увеличивает поверхность ее взаимодействия с большими ускоренными массами относительно холодного газа и приводит к более интенсивному порождению турбулентности. При постулированном механизме воздействия нестационарного нагрева стены на порождение турбулентности эффект будет тем значительнее, чем больше коэффициент  $\beta_w$  объемного расширения газа, находящегося у стены, и локальное изменение температуры потока  $\Delta T^* = \partial T_w / \partial t \cdot \Delta t^*$  за среднее время между следующими друг за другом возникновениями выхревых структур  $\Delta t^*$  для соответствующие безразмерные параметры  $K_{\tau_g}$  или  $K_{\tau_g}^*$ :

$$K_{\tau_g}^* = \frac{\partial T_w}{\partial t} \beta_w \sqrt{\frac{d}{g}} = K_{\tau_g} \sqrt{\frac{\alpha \operatorname{Re} Pr}{4}}.$$

Для газов  $\beta_w = f/T_w$ . Входящие в  $K_{\tau_g}$ ,  $K_{\tau_g}^*$ ,  $K_{\tau_g}$ ,  $K_w$  значения  $\rho$ ,  $c_p$ ,  $\lambda$ ,  $\alpha$ ,  $g$  определяются по  $T_f$ . Эксперименты показали, что влияние  $\alpha/d$  на нестационарный теплообмен  $Nu_f$  такое же, как и на квазистационарный  $Nu_{f0}$ . Переменность свойств жидкостей одинаково влияет на  $Nu_f$  и  $Nu_{f0}$ , поэтому для них

$$N u_f = f(Re_f, Pr_f, K_g, K_{\tau_g}^*, K_w) \quad (145)$$

или при разделочном учете влияния на нестационарный теплообмен параметров  $K_g$ ,  $K_{\tau_g}^*$ ,  $K_w$

$$K = f + \Delta K_1(K_g, Re_f, Pr_f) + \Delta K_2(K_{\tau_g}^*, Re_f) + \Delta K_3(K_w, Re_f). \quad (146)$$

Для газов  $Pr_w = \text{const}$ , а влияние переменности их свойств, учтываемое  $T_w/T_f$ , различное для  $Nu_f$  и  $Nu_{f0}$ , поэтому

$$K = f(Re_f, T_w/T_f, K_g, K_{\tau_g}^*, K_w) = f + \Delta K_1(K_g, Re_f) + \Delta K_2(Re_f, T_w/T_f, K_{\tau_g}^*) + \Delta K_3(Re_f, T_w/T_f, K_w). \quad (147)$$

Здесь  $K$  – отношение нестационарного коэффициента теплоотдачи к квазистационарному;  $\Delta K_f$  – изменение  $K$ , обусловленное наложением нестационарной теплопроводности на стационарный конвективный теплообмен;  $\Delta K_g$  – изменение  $K$ , обусловленное перестройкой турбулентной структуры потока при возмущении  $T_w$  и  $G = \text{const}$ ;  $\Delta K_s$  – изменение  $K$  при переменном расходе.

Для расчета нестационарного теплообмена при течении газов и жидкостей в трубах и изменениях во времени теплоизделия в отеках каналов и расхода теплоносителя в [9 – II] получены эмпирические зависимости.

Зависимости для  $\Delta K$ , при различных законах изменения  $q_w$  имеют вид

$$\Delta K_f = 26,6(K_g)^{0,7}/Re_f \cdot Pr_f^{0,6} \quad (148)$$

при  $Re_f = 10^4 \dots 10^5$ ,  $Pr_f = 1 \dots 10$ ,  $K_g = 0 \dots 4000$ ,  $x/d = 3,16 \dots 197$  и т.д.

$$\Delta K_g = f/[f - 2,4K_g/Re_f \cdot Pr_f^{0,6}] - f \quad (149)$$

при  $K_g = -2000 \dots 0$ ,  $Re_f = 10^4 \dots 10^5$ ,  $Pr_f = 1 \dots 10$ . При  $K_g > 0$ ,  $\Delta K_g > 0$ , при  $K_g < 0$ ,  $\Delta K_g < 0$ .

Эмпирические формулы для  $\Delta K_s$  и  $\Delta K_3$  при нагревании газов для различных законов изменения  $T_w$  и  $G$  имеют вид:

1) при росте температуры стени

$$\Delta K_s = (2 - 0,83 \frac{T_w}{T_f})(0,4 - 1,2 Re_f \cdot 10^{-5})(K_{Tg}^* \cdot 10^4)^{0,636 - 0,0048 Re_f \cdot 10^{-5}} \quad (150)$$

при  $K_{Tg}^* = 0 \dots 0,4 \cdot 10^{-4}$ ,  $Re_f = 7 \cdot 10^3 \dots 2,5 \cdot 10^4$ ,  $T_w/T_f = 1 \dots 1,7$ ;

$$\Delta K_s = (2 - 0,83 \frac{T_w}{T_f})(4,6 - 1,46 Re_f \cdot 10^{-5})(K_{Tg}^* \cdot 10^4)^{0,636 - 0,0048 Re_f \cdot 10^{-5}} \quad (151)$$

при  $K_{Tg}^* = 0 \dots 0,4 \cdot 10^{-4}$ ,  $Re_f = 2,5 \cdot 10^4 \dots 2 \cdot 10^5$ ,  $T_w/T_f = 1 \dots 1,7$ ;

$$\Delta K_s = \frac{\exp[(4,45 - 7 Re_f \cdot 10^{-5}) K_{Tg}^* \cdot 10^4] - f}{\exp[0,4(2 - K_{Tg}^* \cdot 10^4) Re_f \cdot 10^{-5}]} \quad (152)$$

при  $K_{Tg}^* = 0 \dots 1,1 \cdot 10^{-4}$ ,  $Re_f = 8 \cdot 10^4 \dots 4,5 \cdot 10^5$ ,  $T_w/T_f = 1 \dots 1,4$ ;

2) при снижении температуры стени

$$\Delta K_s = -1,05(2 - \frac{T_w}{T_f})[f - (0,325 + 0,206 Re_f \cdot 10^{-5})]K_{Tg}^* \cdot 10^4^{0,636 Re_f \cdot 10^{-5} - 0,27} \quad (153)$$

при  $K_{Tg}^* = -0,4 \cdot 10^{-4} \dots 0,05 \cdot 10^{-4}$ ,  $Re_f = 7 \cdot 10^3 \dots 2 \cdot 10^5$ ,  $T_w/T_f = 1 \dots 1,7$ ;

$$\Delta K_3 = 4,25(2 - \frac{T_w}{T_f})(4,85 - 2,2 Re_f \cdot 10^{-5})K_{Tg}^* \cdot 10^4 \quad (154)$$

при  $K_{Tg}^* = -0,05 \cdot 10^{-4} \dots 0$ ,  $Re_f = 7 \cdot 10^3 \dots 2 \cdot 10^5$ ,  $T_w/T_f = 1 \dots 1,7$ ;

$$\Delta K_3 = -(0,5 \frac{T_w}{T_f} - 0,42)[f - \exp(4,6 \cdot 10^{-4} K_{Tg}^*)] \quad (155)$$

при  $K_{Tg}^* = -10^{-4} \dots 0$ ,  $Re_f = 8 \cdot 10^4 \dots 5,2 \cdot 10^5$ ,  $T_w/T_f = 1 \dots 1,6$ ;

3) при увеличении расхода газа

$$\Delta K_3 = 0,004(4, f - 1,9 \frac{T_w}{T_f})K_0^{2,4 - 6,4 Re_f \cdot 10^{-5}} \quad (156)$$

при  $K_0 = 0 \dots 14$ ,  $Re_f = 10^4 \dots 2,5 \cdot 10^5$ ,  $T_w/T_f = 1 \dots 1,7$ ;

4) при уменьшении расхода газа

$$\Delta K_3 = [(0,915 + 0,08 Re_f \cdot 10^{-5})|K_0|^{0,25 Re_f \cdot 10^{-5} - 0,08}](Q_{0,66} + Q_{0,75} \frac{T_w}{T_f}) - f \quad (157)$$

при  $K_0 = (-14 \dots 0,01)$ ,  $Re_f = 10^4 \dots 2,5 \cdot 10^5$ ,  $T_w/T_f = 1 \dots 1,7$ . При  $K_{Tg}^* > 0$   $\Delta K_s > 0$ , при  $K_{Tg}^* < 0$   $\Delta K_s < 0$ .

На рис. 23 представлены зависимости  $\Delta K_s$  от  $K_{Tg}^*$  для разных ( $\alpha$ ) и плавных ( $\delta$ ) изменений тепловой нагрузки при нагревании газа.

На рисунке 1 –  $Re_f = (1 \dots 2) \cdot 10^4$ ,  $T_w/T_f = 1,1 \dots 1,3$ ; 2 –  $Re_f = (6 \dots 7) \cdot 10^4$ ,  $T_w/T_f = 1,1 \dots 1,3$ ; 3 –  $Re_f = (7 \dots 9) \cdot 10^4$ ,  $T_w/T_f = 1,3 \dots 1,5$ ; 4 –  $Re_f = (1,2 \dots 1,5) \cdot 10^5$ ,  $T_w/T_f = 1,5 \dots 1,7$ ; 5 –  $Re_f = (7 \dots 9) \cdot 10^4$ ,  $T_w/T_f = 1,5 \dots 1,7$ . При  $K_0 > 0$   $\Delta K_s > 0$ , при  $K_0 < 0$   $\Delta K_s < 0$ , причем  $\Delta K_s$  изменяется тем меньше, чем меньше  $Re_f$  и  $T_w/T_f$ .

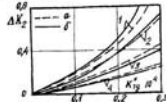
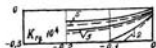


Рис. 23



На рис. 24 представлены зависимости  $\Delta K_s$  от  $K_0$  при различных  $Re_f$  (1 – 6 – соответственно  $Re_f \cdot 10^{-4} = 1 \dots 2; 2 \dots 3; 3 \dots 4$ ).

4...5; 5...6; 6...7) в  $T_w/T_f$  в случае увеличения ( $\alpha$ ) или уменьшения ( $\delta$ ) расхода нагреваемого газа.

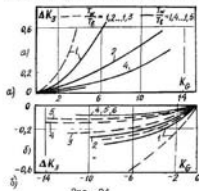


Рис. 24

Рис. 25

Проведенные эксперименты позволили сориентировать влияние изменения  $T_w$  на турбулентную структуру потока. Предполагалось, что в нестационарных условиях стационарное распределение турбулентной температуропроводности сохраняется, однако в безразмерные расстояния от стены  $r$  вводится эмпирический множитель  $B$ :  $B > 0$  при  $K_{\tau g}^* > 0$ . При увеличении  $T_w$  значения  $\lambda_r/\lambda$  ( $\lambda_r$  - коэффициент турбулентной теплопроводности) возрастали: в пристеневой области - в 2...4 раза при умеренном росте  $K$ , а в ядре - на 20...50%.

На рис. 25 показано распределение турбулентной теплопроводности по радиусу трубы при расчете с учетом нестационарности I и в квазистационарном приближении 2. На рисунке  $\alpha$  -  $Re_f = 2,5 \cdot 10^5$ ,  $T_w/T_f = 1,12$ ,  $K_{\tau g} = 1,26 \cdot 10^{-4}$ ,  $K = 1,29$ ;  $\delta$  -  $Re_f = 5,5 \cdot 10^4$ ,  $T_w/T_f = 1,16$ ,  $K_{\tau g} = 1,1 \cdot 10^{-4}$ ,  $K = 1,45$ .

Полученные зависимости для  $\Delta K_g$  и  $\Delta K_p$  позволяли установить соотношение между ними при изменениях во времени  $T_w$  и  $q_w$  в случае нагревания газа в трубе. Как видно из (I48), (I50) и (I51), при увеличении тепловой нагрузки и  $Re_f = \text{const}$

$$\Delta K_p = C_1 (K_{\tau g})^{0,77}, \quad (I58)$$

$$\Delta K_g = C_2 (K_{\tau g})^{0,77}, \quad (I59)$$

где  $C_1 = 1,796 \dots 1,405$  при изменении  $Re_f$  от  $7 \cdot 10^3$  до  $2 \cdot 10^5$ . С учетом зависимостей для  $K_g$  и  $K_{\tau g}^*$  и выражения  $G = 0,25 \text{ дж}/\text{с} \cdot Re_f$  получаем, что при прочих равных условиях

$$\Delta K_p / \Delta K_g = C d^{0.77}, \quad (I60)$$

где при  $Re_f = 7 \cdot 10^3 \dots 2 \cdot 10^5$   $d = 0,522 \dots 0,8075$ .

Таким образом, отношение  $\Delta K_p / \Delta K_g$  тем больше, чем больше диаметр трубы. Обычно в теплообменных аппаратах  $d = 10 \dots 20$  мм, поэтому  $\Delta K_p \ll \Delta K_g$  (рис. 23) и можно считать, что  $\Delta K_p \approx 0$ , т.е. отличие  $K$  от I определяется изменением турбулентной структуры потока. Для больших  $d$  (например, при расчете нестационарного теплообмена в газогенераторах)  $\Delta K_p$  нужно учитывать.

Эмпирические формулы для  $\Delta K_g$  и  $\Delta K_p$  были получены при нагревании жидкости для разных законов изменения  $T_w$  и  $G$ .

При изменении тепловой нагрузки  $|\Delta K_p|$  тем больше, чем больше  $|K_{\tau g}^*|$  и чем меньше  $Re_f$ , но зависит от  $Pr_f$  и при  $Pr_f = 3 \dots 10$  обобщается следующими формулами:

$$\Delta K_g = \left( \frac{4,72 \cdot 10^6}{Re_f^{0,305}} \right) K_{\tau g}^*, \quad (I61)$$

при  $Re_f = 4 \cdot 10^3 \dots 2 \cdot 10^4$ ,  $K_{\tau g}^* = 0 \dots 0,7 \cdot 10^{-5}$ ;

$$\Delta K_g = \left( \frac{8,29 \cdot 10^9}{Re_f^{0,14}} \right) K_{\tau g}^*, \quad (I62)$$

при  $Re_f = 2 \cdot 10^4 \dots 10^5$ ,  $K_{\tau g}^* = 0 \dots 0,7 \cdot 10^{-5}$ ;

$$\Delta K_g = (1 - 4,72 \cdot 10^6 K_{\tau g}^* / Re_f^{0,305})^{-1} - 1 \quad (I63)$$

при  $Re_f = 4 \cdot 10^3 \dots 2 \cdot 10^4$ ,  $K_{\tau g}^* = -0,3 \cdot 10^{-5} \dots 0$ ;

$$\Delta K_g = (1 - 8,29 \cdot 10^9 K_{\tau g}^* / Re_f^{0,14})^{-1} - 1 \quad (I64)$$

при  $Re_f = 2 \cdot 10^4 \dots 5 \cdot 10^4$ ,  $K_{\tau g}^* = -0,3 \cdot 10^{-5} \dots 0$ .

Для жидкостей  $\Delta K_g$  и  $\Delta K_p$  сопараллельны. Отношение  $\Delta K_g / \Delta K_p$  уменьшается с ростом диаметра трубы при одинаковых  $\partial T_w / \partial x$ ,  $T_w$ ,  $T_f$ ,  $Re_f$ ,  $Pr_f$ , поэтому зависимость  $K$  от  $K_g$  или  $K_{\tau g}^*$  не является единой для труб разного диаметра и требует введения двух параметров тепловой нестационарности.

При одинаковых  $K_{\tau g}^{**}$ ,  $Re_f$  значения  $\Delta K_g$  для жидкости и газа (при  $T_w/T_f \approx 1$ ) практически совпадают, хотя их коэффициенты объемного расширения  $\beta_w$  различаются до 40 раз. На рис. 26 сопоставлены данные о влиянии на нестационарный теплообмен изменения турбулентной структуры потока при нагревании жидкости (I - вода при

$\Pr_f = 4 \dots 12$  (3) и  $\Pr_f = 3 \dots 12$  (4) в газа (2 - воздух при  $\Pr_w = 0,72$ ). Параметр  $K_{fg}^{**} = \frac{\partial T_w}{\partial t} / \beta_w \sqrt{\frac{d}{g}}$ . Это подтверждает правильность предложенной модели влияния изменения температуры стены на турбулентную структуру потока и нестационарный теплообмен, которое тем больше, чем больше  $\partial T_w / \partial t$  и  $\beta_w$ .

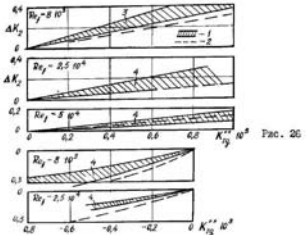


Рис. 26

Проведенные эксперименты и их анализ показали, что влияние изменения турбулентной структуры потока на нестационарный теплообмен существенно как для газов, так и для жидкостей.  $\Delta K_3$  определяется из экспериментальных значений  $K$  в выражениях при  $G$ -составе величин  $\Delta K_1$  и  $\Delta K_2$  для  $\Pr_f = 3 \dots 12$ ,  $\Pr_f / \Pr_w = 1 \dots 4$ ,  $a/d = 6 \dots 160$  обобщается следующими формулами:

$$\Delta K_1 = (6 \cdot 10^{-9} K_e + 5,6 \cdot 10^{-6}) Re_f - 7 \cdot 10^{-4} K_e - 0,071 \quad (165)$$

при  $Re_f = (1 \dots 12) \cdot 10^3$ ,  $K_e = 0 \dots 400$ :

$$\Delta K_1 = (9,3 \cdot 10^{-8} K_e - 2 \cdot 10^{-5}) Re_f - 2,4 \cdot 10^{-2} K_e + 0,230 \quad (166)$$

при  $Re_f = (1 \dots 12) \cdot 10^3$ ,  $K_e = -200 \dots 0$ :

$$\Delta K_1 = (2,43 \cdot 10^{-2} K_e - 5,67 \cdot 10^{-2}) Re_f^{1/3} - (3,57 \cdot 10^{-2} K_e - 0,83) \quad (167)$$

при  $Re_f = (12 \dots 20) \cdot 10^3$ ,  $K_e = -100 \dots 200$ :

$$\Delta K_3 = (3,91 \cdot 10^{-8} K_e + 2,173 \cdot 10^{-6}) Re_f + 1,13 \cdot 10^{-3} K_e^{-0,016} \quad (168)$$

при  $Re_f = (20 \dots 60) \cdot 10^3$ ,  $K_e = 0 \dots 200$ :

$$\Delta K_3 = (-5 \cdot 10^{-9} K_e - 2,75 \cdot 10^{-6}) Re_f + 2,8 \cdot 10^{-3} K_e - 0,077 \quad (169)$$

при  $Re_f = (20 \dots 60) \cdot 10^3$ ,  $K_e = -100 \dots 0$ .

При  $Re_f = (1,5 \dots 6) \cdot 10^4$   $\Delta K_3 > 0$  при  $K_e > 0$  и  $\Delta K_3 < 0$  при  $K_e < 0$ .

На рис. 27 показаны зависимости  $\Delta K_3$  от  $Re_f$  и  $K_e$  при увеличении ( $K_e > 0$ ) и уменьшении ( $K_e < 0$ ) расхода нагреваемой жидкости (1 - 7 - соответственно  $K_e = 400, 200, 100, 50, -50, -100, -200$ ).

При снижении  $Re_f$  влияние скоростной нестационарности на теплоотдачу уменьшается, а затем становится обратным: при ускорении потока теплоотдача уменьшается, а при замедлении увеличивается по сравнению с нестационарной.

Несколько при проектировании реальных расчетов  $T_w$  и  $\partial T_w / \partial t$  заранее

известны (так же,  $\beta_w$  и  $\partial g_w / \partial t$ ), задачу решают методом последовательных приближений. В первом приближении коэффициенты теплоотдачи определяют по квазистационарным зависимостям. Затем в первом приближении находят  $T_w$  и  $\partial T_w / \partial t$ ,  $K_{fg}^*$ ,  $\beta_w$ ,  $\partial g_w / \partial t$ ,  $K_g$  и нестационарный коэффициент теплоотдачи. Это позволяет сделать следующие приближения при решении задачи.

Надо отметить, что представленные в настоящем разделе эмпирические формулы дают возможность при заданной точности расчета коэффициента теплоотдачи определять допустимые скорости изменения параметров ( $\partial T_w / \partial t$ ,  $\partial g_w / \partial t$ ,  $\partial \beta_w / \partial t$ ) и пределы применения квазистационарных зависимостей для расчета коэффициента теплоотдачи.

## 10. ТЕХНОЛОГИИ И ГИДРАУЛИЧЕСКОЕ СОПРОТИВЛЕНИЕ В НЕКРУГЛЫХ КАНАЛАХ

В настоящее время широко применяются теплообменные аппараты с каналами, имеющими некруглое поперечное сечение. Это продольно-обтекающие пучки труб, колодезные каналы, плоские цилиндры, прямоугольные и трапециoidalные каналы, а также каналы более сложного поперечного сечения. Некоторые из этих каналов показаны на рис. 7. Во многих сечениях из них теплообмен осуществляется не через всю омываемую поверхность

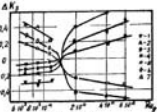


Рис. 27

ность. Часто плотность тепловых потоков на различных поверхностях оказывается неодинаковой. Например, на практике встречаются прямоугольные каналы с одной или двумя обогреваемыми поверхностями, колцевые каналы с внутренним или внешним обогревом, а также с двусторонним обогревом с разным плотностям тепловых потоков, продольно омываемые пучки стержней, частично участвующие в теплообмене.

Долгое время теплоотдача к гидравлическому сопротивлению продолжали описываемых каналов некруглого поперечного сечения рекомендовалось рассчитывать по исходным данным для труб с использованием в качестве определенного размера эквивалентного диаметра  $d_e$ , найденного по формуле (53). Как будет показано ниже, эти рекомендации являются весьма приближенными, и их применение объясняется отсутствием каких-либо данных о некруглых каналах. Так как геометрического подобия между трубой и некруглым каналом не существует, то из теории подобия следует, что совпадение расчетных и экспериментальных данных возможно лишь при случайном, но вполне определенном соотношении геометрических размеров некруглого канала. Например, при продольном омывании пакетами пучков труб совпадение наблюдается при относительном шаге пучка  $S/D_e = 1,15 \dots 1,2$  (см. рис. 7,в).

Выполненные в настолько времени экспериментальные и теоретические исследования позволяют предложить надежные рекомендации для расчета теплоотдачи к гидравлическому сопротивлению некруглых каналов [3 - 5, 15].

Структура течения в некруглых каналах значительно сложнее, чем в круглой трубе. Особенностью этого течения является существование конвективного перекоса поперек основного потока, вызванного крупномасштабными вихрями и вторичными течениями. В каналах с сильным сужением (треугольных каналах с одной или двумя малыми углами, плотнопакованных пучках труб) в узких областях может существовать ламинарное течение даже при  $Re_c$ , значительно превышающих  $Re_{cr}$  для трубы. При этом в основной части канала течение турбулентное. Переход к турбулентному течению в некруглых каналах начинается при меньших числах  $Re_{cr}$ , чем в круглой трубе. Таким образом, переходная область в некруглых каналах сильно расширяется.

На рис. 28 представлены в виде изотах (линий одинаковых скоростей) поля скоростей для квадратного канала (рис. 28,а), прямоугольного канала (рис. 28,б), плотнопакованного пучка стержней (рис. 28,в) и пучка с  $S/D_e = 1,05$  (рис. 28,г). На рис. 28,а и б изотахи дены для различных  $W_e/W_{e,max}$ , на рис. 28, в и г - для различных  $W_e/W$ , где  $W_{e,max}$  - скорость на оси канала;  $W$  - среднепроходящая скорость.

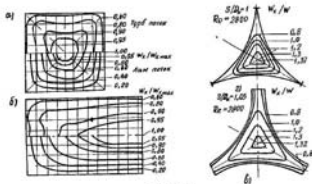


Рис. 28

При ламинарном течении в некруглых каналах вторичные течения отсутствуют, при турбулентном течении они существуют и связаны с формой изотах. Возникновение вторичных течений обусловлено перераспределением соотношения измерительных и вязкостных сил по сечению канала. При наличии вторичных течений на основе продольного течения накладывается вихревое, в результате чего течение приобретает спиралеандийский характер. Количество наложившихся вихрей зависит от формы канала. На рис. 29 показаны схемы вторичных течений в квадратном канале (рис. 29,а) и в канале плотной упаковки труб (рис. 29,б). Вторичные течения изображены сплошными линиями, изотахи - пунктирными. Скорость вторичных течений невелика. В квадратном канале она составляет 2, в треугольном - 1,5, в пучках круглых труб - 0,6% от средней осевой скорости потока.

В сложных каналах влияние крупномасштабных вихрей на поля скоростей сильнее всего проявляется в направлении слабого изменения потока по сечению канала.

В сложных каналах влияние крупномасштабных вихрей на поля скоростей сильнее всего проявляется в направлении слабого изменения

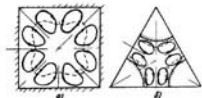


Рис. 29

скорости (вдоль периметра канала). В направлении, перпендикулярном периметру канала, конвективный перенос этим вихрями играет значительную роль вследствие большого градиента скорости.

Законы распределения температуры по периметру некруглого канала зависят не только от гидродинамики и физических свойств теплоносителя, но и от стени: ее конфигурации, размеров, физических свойств, распределенных в ней источниками тепла. Это делает данную задачу сопряженной, т.е. вынуждает рассматривать уравнения энергии, движения и неразрывности для потока совместно с уравнением теплоизводности для стени канала и условиями сопряжения — равенства температур и тепловых потоков на границе с двух ее сторон.

Решение сопряженных задач весьма сложно, оно должно содержать дополнительный параметр

$$\Phi_s = \lambda_w \delta_w / \lambda_f d_s, \quad (170)$$

где  $\lambda_w$ ,  $\lambda_f$  — коэффициенты теплоизводности материала стени и теплоносителя;  $\delta_w$  — толщина стени.

При переменной по периметру температуре стени возникают перетечки тепла как по самой стенке (пропорциональные  $\lambda_w \delta_w$ ), так и по теплоносителю (пропорциональные  $\lambda_f d_s$ ). Параметр  $\Phi_s$  характеризует отношение этих перетечек. При  $\Phi_s = 0$  перетечки тепла по стенке отсутствуют: это соответствует граничному условию  $q_w = \text{const}$  по периметру. При  $\Phi_s \rightarrow \infty$  ( $\lambda_w \rightarrow \infty$ ) перетечки тепла велики; это соответствует условию  $T_w = \text{const}$  по периметру. В реальных каналах параметр  $\Phi_s$  имеет некоторое промежуточное значение.

Реальный путь решения сопряженной задачи заключается в разделении ее на две (для потока и для стени) путем введения понятия местного коэффициента теплоизводности

$$\alpha(x, y_w, z_w) = \frac{q_w(x, y_w, z_w)}{T_w(x, y_w, z_w) - T_f(x)}, \quad (171)$$

учитывающего изменение теплоизводности (а следовательно, и плотности теплового потока на поверхности стени  $q_w$  и температуры стени  $T_w$ ) не только по длине канала, но и в поперечном сечении  $x$  в любой точке  $(y_w, z_w)$  по периметру канала.

При равноточных турбулентных течениях в каналах и возможных гравитационных условиях коэффициент теплоизводности  $\alpha(x, y_w, z_w)$ , определяемый по (171), слабо зависит не только от предсторония изменения  $T_w$  по длине канала (до данного сечения  $x$ ), но и от распределения  $T_w$  по периметру канала, что делает целесообразным использование коэффициента  $\alpha(x, y_w, z_w)$  и соответствующего числа Нуссельта

$Nu_s = \alpha(x, y_w, z_w) d_s / \lambda_f$  — в практических расчетах. Распределение коэффициента теплоизводности по длине и периметру канала при развитом турбулентном течении определяется главным образом гидродинамикой потока.

Если зависимости для  $\alpha(x, y_w, z_w)$  и коэффициента гидравлического сопротивления канала будут найдены, то математическая постановка указанной выше сопряженной задачи заметно упрощается. Вместо трехмерных основных уравнений можно использовать одномерную систему (19) — (21), записав ее для отационарного течения и добавив к ней уравнение теплоизводности для стени (23).

Рассмотрим конкретные расчетные зависимости для некоторых типов некруглых каналов. Для продольно омываемых пучков труб, когда число их велико (т.е. когда влияние конца мало), результаты расчетов коэффициентов гидравлического сопротивления и средней теплоизводности при стабилизированном линейном течении представлены на рис. 30 и 31. На рис. 30 приведены данные по сопротивлению для цилиндрического I и коридорного 2 расположения труб в зависимости от относительного шага их размещения  $S/D_{\text{h}}$  (см. рис. 7, б), а на рис. 31 — данные по теплоизводке для пакетных пучков при  $q_w = \text{const}$  по периметру (1) и  $T_w = \text{const}$  (2). Как видно из рисунков,  $Nu_{d_s}$  и  $\xi$  возрастают при увеличении  $S/D_{\text{h}}$ , если в качестве определяющего размера использовать эквивалентный диаметр. В тесных пучках наблюдается существенная разница в средних коэффициентах теплоизводности при  $q_w = \text{const}$  и  $T_w = \text{const}$ , причем в первом случае теплоизводка ниже.

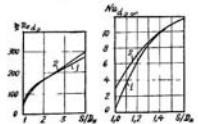


Рис. 30

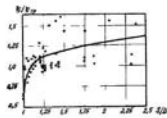


Рис. 31

При турбулентном режиме течения опытные данные по гидравлическому сопротивлению и теплоизводке также расходятся с данными для труб при расчете по эквивалентному диаметру. На рис. 32 представлена зависимость отношения  $\xi / \xi_p$  для продольно омываемых пакетных

лучков труб ( $F_{Tr}$  - коэффициент гидравлического сопротивления труб) от  $S/D_n$ . Точками показаны опытные данные различных авторов, а линией - зависимость, полученная П.А. Ульяновым в [4]:

$$\frac{F}{F_{Tr}} = 0,57 + 0,18(S/D_n - 1) + 0,53 \{ 1 - \exp(-\alpha) \}, \quad (172)$$

где

$$\alpha = \begin{cases} 0,58 \{ 1 - \exp[-70(S/D_n - 1)] \} + 9,2(S/D_n - 1) & \text{при } S/D_n < 1,02; \\ 0,58 + 9,2(S/D_n - 1) & \text{при } S/D_n > 1,02. \end{cases}$$

для коротких пучков [4]

$$\frac{F}{F_{Tr}} = 0,59 + 0,19(S/D_n - 1) + 0,52 \{ 1 - \exp[-10(S/D_n - 1)] \}. \quad (173)$$

Зависимости (172) и (173) справедливы при  $1 \leq S/D_n \leq 10$  и  $2 \cdot 10^4 \leq Re \leq 5 \cdot 10^4$ .

Переход к развитому турбулентному течению в пучках во  $Re$  задерживается тем дольше, чем больше  $S/D_n$ . Так, в пучке с  $S/D_n = 1,16$   $Re_{crit} = 1,3 \cdot 10^4$ , при  $S/D_n = 1,2$   $Re_{crit} = 2 \cdot 10^4$ , при  $S/D_n = 1,5$   $Re_{crit} = 3 \cdot 10^4$ .

Для развитого турбулентного течения с ламинарным расположением пучков труб при  $S/D_n = 1,1 \dots 1,5$  справедлива зависимость [3]

$$Nu_m = (0,032 S/D_n - 0,0144) Re_m^{0,6} \cdot Pr_m^{0,3}, \quad (174)$$

изображенная на рис. 33 в виде сплошной линии. Точкими обозначены опытные данные различных авторов. Напомним, что для труб коэффициент в формуле (174) равен 0,023. За определяющую температуру в

(174) принята  $T_m$ , равная полусумме температур теплоносителя и стенки. Надо заметить, что при  $S/D_n > 1,5$  теплоотдача с увеличением  $S/D_n$  растет медленнее, чем по (174), а при  $S/D_n < 1,1$  она убывает быстрее, чем это следует из формулы (174).

Стабилизация теплоотдачи в продольно симметричных пучках в ламинарной степени зависит от формы входа. При турбулентном течении в продольном входе коэффициент теплоотдачи стабилизируется при  $\alpha/d_s = 20 \dots 25$ . При поперечном входе длина участка тепловой стабилизации увеличивается до  $t_\tau/d_s = 20 \dots 50$ .

На рис. 34 показан характер изменения местного коэффициента теплоотдачи по периметру труб при их плотной ламинарной упаковке. Угол  $\theta$  отсчитывается от точки касания труб. На рисунке  $a = Re =$

$= 2 \cdot 10^4$ ,  $\delta = Re = 5 \cdot 10^4$ ;  $l = 4 - x/d_s = 15,5; 45; 60; 74$  соответственно. В исследованном диапазоне чисел  $Re$  происходит рост размеров и интенсивности турбулентных зон по длине канала при фиксированном  $Re$  и в каждом сечении - при увеличении  $Re$ . Диаметральное разноесение потока при одномеренном существовании турбулентных и нетурбулентных угловых зон обеспечивается системой шестер вихрев (см. рис. 20, б). Такая гидродинамика и определяет распределение коэффициента теплоотдачи по периметру (см. рис. 34).

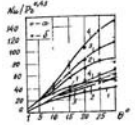


Рис. 34

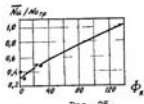


Рис. 35

На рис. 35 показана зависимость среднего по периметру коэффициента теплоотдачи (определенного как частное от деления средней плотности теплового потока на средний температурный напор) для пучков плотной упаковки от параметра  $\Phi_k$ . Как видно из рисунка, с увеличением  $\Phi_k$  отношение среднего по периметру  $\bar{Nu}_m$  к  $Nu_{Tr}$  для труб возрастает. С увеличением  $\Phi_k$  от 0 до 1,5 отношение  $\bar{Nu}_m/Nu_{Tr}$  может быть от 0,3...0,4 до 1. Это объясняется ростом перетечек тепла по периметру и увеличением длины тела, воспринимаемого потоком в широких частях канала, где течение турбулентное и коэффициент теплоотдачи максимальный (см. рис. 34).

Для колышевых каналов (см. рис. 7, б) при ламинарном стабилизированном течении коэффициент сопротивления определяется зависимостью [3]

$$\frac{\delta}{Re_{d_s}} = \frac{\frac{64}{\pi} \left( 1 - \frac{d_s}{d_p} \right)}{1 + \left( \frac{d_s}{d_p} \right)^2 + \frac{1 - \left( \frac{d_s}{d_p} \right)^2}{4 \ln \left( \frac{d_s}{d_p} / d_s \right)}}. \quad (175)$$

При изменении  $d_s/d_p$  от 0,001 до 1 коэффициент  $\delta/Re_{d_s}$  возрастает от 74,68 до 90. Для одностороннего обогрева на участке теплоевой стабилизации [3]

$$Nu_{1m} = 3,96 + 0,9 \left( \frac{d_t}{d_s} \right)^{0,85} \quad \text{при } d_t/d_s \geq 0,2; \quad (176)$$

$$Nu_{2m} = 4,03 \exp \left( 0,185 \frac{d_t}{d_s} \right) \quad \text{при } d_t/d_s > 0,15, \quad (177)$$

где индекс "1" относится к внутренней стенке, индекс "2" - к наружной, а индекс "m" означает несимметричный (односторонний) нагрев.

При турбулентном течении в колыцевых каналах коэффициент гидравлического сопротивления [4]

$$\xi = F_{tr} \left[ \frac{1 - d_t/d_s}{1 + [1 - (d_t/d_s)^2 / \ln(d_t/d_s)^2]} \right]^{0,62} \left( 1 + 0,04 \frac{d_t}{d_s} \right), \quad (178)$$

где  $F_{tr}$  - коэффициент сопротивления для трубы, определяемый по (78).

Коэффициент  $\xi$  слабо зависит от  $d_t/d_s$ .

Теплопередача в колыцевых каналах в области тепловой и гидродинамической стабилизации обобщается Б.С. Петуховым и Л.И. Рейзеном в виде зависимостей:

для нагрева внутренней стенки

$$Nu_{1m}/Nu_{tr} = [\xi - \Psi(\Pr)] (d_s/d_t)^{\alpha(\Pr)} \zeta, \quad (179)$$

для нагрева наружной стенки

$$Nu_{2m}/Nu_{tr} = \xi - \Psi(\Pr)(d_t/d_s)^{\beta(\Pr)}, \quad (180)$$

где  $\Psi(\Pr) = \frac{0,45}{2,4 + \Pr}; \quad \alpha(\Pr) = 0,16 \Pr^{-0,15}, \quad \zeta = 1 + 2,5 \left( \frac{d_s/d_t - 1}{Re} \right)^{0,6}$

при  $d_t/d_s < 0,2, \quad \beta = 1$  при  $d_t/d_s \geq 0,2$ .

Уравнение (179) справедливо при  $0,05 \leq d_t/d_s \leq 1$ , уравнение (180) - при  $0 \leq d_t/d_s \leq 1$ , а оба уравнения - при  $10^4 \leq Re \leq 10^6$  и  $0,7 \leq \Pr \leq 100$ . Пределное значение числа Нуссельта для трубы определяется по (114). Отношения  $Nu_{1m}/Nu_{tr}$  и  $Nu_{2m}/Nu_{tr}$  уменьшаются с ростом  $d_t/d_s$  и при  $d_t/d_s \rightarrow 1$  стремятся к 0,86.

Для плоских каналов (см. рис. 7,а) при  $6 \cdot 10^3 \leq Re \leq 5 \cdot 10^4$  коэффициент сопротивления опписывается формулой (78) в случае  $b/b_t = 1$ . Для односторонне обогреваемых плоских каналов при турбулентном течении теплопоток можно рассчитывать по формулам (179) и (180), если принять в них  $d_t/d_s = 1$ .

При двустороннем обогреве в плоском канале теплопоток выше, чем при одностороннем, что объясняется различием температурных профилей. При асимметричном нагреве тепловое сопротивление турбулент-

ного ядра вдвое больше, чем при симметричном, и коэффициент теплопередачи меньше. С ростом  $Re$  и  $\Pr$  температурное поле становится более заполненным, влияние теплового сопротивления турбулентного ядра уменьшается, и поэтому асимметричность нагрева меньше оказывается на коэффициенте теплопотока.

## II. ТЕПЛОПОТОМ ПРИ СОВМЕСТНОМ ВЛИЯНИИ СВОБОДНОЙ И ВЫНУЖДЕННОЙ КОНВЕКЦИИ В ТРУБАХ

Если плотность жидкости по сечению канала неоднородна, то на основное течение, обусловленное перепадом давлений, накладывается свободно-конвективное движение, возникающее под действием архимедовых сил. Если архимедовы силы, силы вязкости и силы инерции, действующие в потоке, сопаримы, то такое течение называется вязкостью-инерционно-гравитационным. При ламинарном течении силы инерции малы по сравнению с архимедовыми силами и силами вязкости. В этом случае течение называется вязкостью-гравитационным, а влияние свободной конвекции на теплообмен определяется числом Рейн  $Re$  и углом между направлением вектора скорости на входе в канал и направлением вектора силы тяжести.

Рассмотрим три наиболее характерных случая взаимодействия вынужденной и свободной конвекции.

**Первый случай:** течение в вертикальной трубе снизу вверх при нагревании жидкости в сверху вниз - при охлаждении. При нагревании жидкости плотность близко к стенки меньше, чем в ядре потока. Поэтому частицы жидкости вблизи стенки под действием архимедовых сил имеют скорость свободного движения, направленную вверх, а частицы в ядре потока - скорость, направленную вниз. Если при этом скорость вынужденного движения направлена вверх, то в результате взаимодействия свободной и вынужденной конвекции скорость вблизи стенки возрастает, а в ядре потока уменьшается по сравнению со скоростью в тех же точках при изотермическом течении. Такая картина течения изображена на рис. 36,а, где показаны профили скоростей при различных  $Gr/Re$ . При  $Gr/Re = 0$  профиль скорости параболический (изотермическое течение). С увеличением  $Gr/Re$  скорость в ядре потока уменьшается, а близко к стенке возрастает. Вследствие этого профиль скорости вначале становится более заполненным, потом на оси трубы возникает минимум, а между осью и стенкой - максимум скорости. Точка максимума с увеличением  $Gr/Re$  приближается к стенке. При  $Gr/Re = 480$  скорость на оси становится равной нулю. При дальнейшем увели-

чения  $Gr/Re$  близк. оси должно возникнуть течение, направленное в сторону, противоположную пристенной области. Такой же характер течения наблюдается при охлаждении жидкости, движущейся сверху вниз.

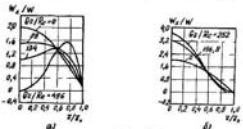


Рис. 36

**Второй случай:** течение в вертикальной трубе сверху вниз при нагревании жидкости и снизу вверх - при охлаждении. При этом скорости свободного и вынужденного течений у стенки направлены в противоположные стороны, а в ядре потока - в одну и ту же сторону. Поэтому в результате взаимодействия вынужденной и свободной конвекции скорость вблизи стенки уменьшается, а в ядре потока увеличивается по сравнению с изотермическим течением, что видно из рис. 36, б, где показаны профили скоростей для этого случая. С ростом  $Gr/Re$  появляется точка перегиба, градиент скорости у стенки уменьшается и при  $Gr/Re = 200$  становится равным нулю. Дальнейшее увеличение  $Gr/Re$  приводит к возникновению у стени течения, противоположно по направлению течению в ядре.

Вязкостно-гравитационное течение с таким профилем неустойчиво. С ростом  $Re$  в пристенной области возникают вихри, а затем течение становится турбулентным.

**Третий случай:** течение в горизонтальной трубе при нагревании или охлаждении. Здесь под действием свободной конвекции частицы жидкости движутся в плоскости, перпендикулярной к оси трубы, а под действием вынужденной конвекции эти же частицы одновременно перемещаются вдоль оси трубы. При нагревании у стени возникают восходящие токи жидкости, а в середине трубы - исходящие. При охлаждении жидкости движение имеет обратный характер. Суммарное движение жидкости схематически можно представить как движение, происходящее по цепи винтовых линий с противоположным направлением вращения. При нагревании жидкости максимум скорости сдвигается вниз, теплоотдача не-

разномерная по окружности: между сильные, чем вверху. Неравномерность теплоотдачи увеличивается с ростом длины  $X_d = \frac{f}{Re} \cdot \frac{d}{l}$ .

Характер теплоотдачи для трех рассмотренных случаев показан на рис. 37 в виде зависимости  $Nu_m$  от  $Re_m \cdot \frac{d}{l}$ . В первом случае (кривая 1) свободная конвекция затягивает ламинарное течение, и теплоотдача слабо возрастает с увеличением  $\frac{f}{Re_m} \cdot \frac{d}{l}$ , а затем при достижении  $Re_{cr}$ , которое увеличивается с ростом  $Gr/Pr$ , возникает турбулентное течение, и теплоотдача резко возрастает до значений, соответствующих турбулентному течению. Во втором случае (кривая 2) в потоке возникает отрыв винтесквилье перемешивание, что уже при  $Re_f > 250$  течение и теплоотдача подчиняются закономерностям, свойственным турбулентному течению. Аналогичная ситуация наблюдается и в третьем случае (кривая 3).

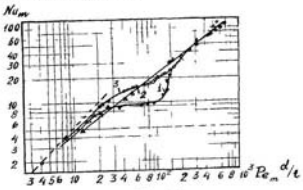


Рис. 37

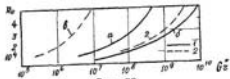


Рис. 38

При неоднородном распределении плотности в потоке жидкости не только при ламинарном, но и при турбулентном движении могут быть различные геометрии с существенным влиянием аэродинамических сил (вязкостно-

измеренно-гравитационный режим течения). При одном и том же значении  $Gr$  влияние архимедовых сил оказывается тем сильнее, чем меньше  $Re$ . На рис. 38 показаны (по данным А.Ф. Попикова) графики изучения влияния архимедовых сил на теплоотдачу в вертикальной обогреваемой трубе I при подъемном движении и в горизонтальной трубе 2. На рисунке  $\alpha$  -  $Pr = 0,7$ ;  $\delta$  -  $Pr = 5$ ;  $\beta$  -  $Pr = 0$ ;  $\gamma$  -  $Pr = 3$ . Краевые соответствуют значениям  $Gr^*$ , при которых изменение числа  $Nu$  превышает 1% от его значения при турбулентном течении.

## 12. ИНТЕНСИФИКАЦИЯ ТЕПЛООБМЕНА В КАНАЛАХ

К современным теплообменникам аппаратам предъявляются повышенные требования по компактности, габаритам и массе. При заданных значениях тепловой мощности, расходах теплоносителей и гидравлических сопротивлений уменьшить габариты и массу аппаратов можно либо за счет увеличения коэффициентов теплопередачи, либо за счет более плотной компоновки (умышленное уменьшение диаметра труб, расстояния между ними). Уменьшение диаметра труб и расстояния между ними ограничено технологическими требованиями, поэтому возможности этого пути практически исчерпаны. Остается только путь уменьшения габаритных размеров и массы аппаратов за счет интенсификации теплообмена.

Известно много методов интенсификации теплообмена. Среди них особое место занимает закрутка потока в трубах с помощью различного рода винтовых вставок (закрученные ленты, шнеки) по всей длине трубы или ее части, тангенциального подвода теплоносителя в трубу, лопаточных завихрителей, расположенных на входе или периодически. Кроме того, с целью интенсификации используются также криволинейные каналы (змеевиковые и спиральные). В ряде случаев для интенсификации теплообмена можно применять наложение на вынужденное течение колебаний расхода. При наличии в каналах акустического резонанса теплоотдача существенно увеличивается в зоне динамики скорости стоячей волны. При этом заметно возрастает и средняя теплоотдача.

Однако наиболее реальным, доступным и высокоеффективным путем интенсификации теплообмена является искусственная турбулизация потока [14]. При умеренном росте гидравлического сопротивления она значительно увеличивает коэффициент теплоотдачи. Рассмотриваемый ниже метод интенсификации теплообмена основан на детальном изучении структуры турбулентного течения в каналах.

На рис. II показано распределение вдоль радиуса трубы безразмерных температур  $\theta$ , скорости  $u_r(y)/u_\infty$ , плотности теплового потока  $q(y)/q_\infty$ , массовой скорости  $r\dot{m}_r/(r\dot{m}_\infty)$  и коэффициента турбу-

лентного переноса импульса  $\mu_r/\mu$  при течении в трубе газа с  $Re_\infty = 4,3 \cdot 10^4$ ,  $Pr = 0,7$  (I - нагревание воздуха при  $T_w = 1000$  К,  $T_f = 154$  К; 2 - охлаждение воздуха при  $T_w = 300$  К,  $T_f = 902$  К; 3 - изотермическое течение).

Так как

$$q = (\lambda + \lambda_r) \frac{\partial T}{\partial r}, \quad (181)$$

а коэффициент теплоотдачи

$$\lambda = \frac{q_\infty}{T_w - T_f}, \quad (182)$$

где среднемассовая температура потока

$$T_f = \frac{\int_{r_0}^{r_\infty} \rho c_p T w r dr}{\int_{r_0}^{r_\infty} \rho c_p w r dr}, \quad (183)$$

то нетрудно заключить, что наибольшее влияние на  $\lambda$  окажет увеличение  $\lambda_r$  в непосредственной близости от стенки. В пристенном слое толщиной  $(0,05 \dots 0,1)r_0$  среднее значение коэффициента турбулентной теплопроводности  $\lambda_r$  не превышает 10% от максимального при давлении Рейнольдса, а тепловой поток близок к максимальному. Поэтому в пристенном слое толщиной  $(0,05 \dots 0,1)r_0$  или высотой  $y^* = \frac{y}{\sqrt{c_\infty / \rho}} \approx 60 \dots 150$  ( $y$  - расстояние от стенки;  $y^*$  - коэффициент кинематической вязкости;  $c_\infty$  - касательное напряжение на стенке) расходится  $60 \dots 70\%$  распологаемого температурного напора. Чем больше число Рейнольдса, тем на более узкий пристеночный слой падесообразно воздействует. Следовательно, наибольшей интенсификацией теплоотдачи можно добиться, увеличивая  $\lambda_r$  именно в таких пристенных слоях. В то же время ясно, что дополнительная турбулизация ядра потока (где  $\lambda_r$  велико, а  $y \ll y^*$ ) мало увеличит теплоотдачу, хотя и приведет к большему росту гидравлических потерь.

Эффективным методом интенсификации теплоотдачи является создание в пристенной области отрывных зон. Наилучшие результаты получаются при дискретной турбулизации потока на стенах каналов, причем вспомогательные турбулентные захвры должны служить плавно очерченные выступы или камавки с высотой  $y^* = 50 \dots 150$ . Их рекомендуется располагать слишком часто ( $t/h < 5 \dots 10$ , где  $t$  - шаг, а  $h$  - высота турбулизатора), так как возникающие при этом за турбулентатором пульсации не успеют затухнуть на пути к следующему турбулентатору и будут дифрактироваться в ядро, увеличивая тем самым интенсивность пульсаций. Подобное явление имеет место в перегородчатых трубах и ведет к значительному росту гидравлических потерь при небольшом повышении теплоотдачи.

Если же увеличить расстояние между турбулизаторами, то дополнительные возникшие в зоне захвата и генерируемые при их периодическом разрушении турбулентные пульсации переносятся основным потоком близко к стени, называемой  $\lambda$ , только скольконее ее, а значит, интенсификация теплоотдачи будет достигнута ранее минимальных гидравлических потерь. При слишком большом ( $t/D_g > 50...100$ ) расстоянии между турбулизаторами дополнительная турбулентность успевает замедлить затухание на некотором расстоянии от турбулизатора, и оставшейся участок канала до следующего турбулизатора по структуре потока будет мало отличаться от гладкого канала.

Максимальное увеличение теплоотдачи  $Nu/Nu_{\text{пл}}$  и гидравлического сопротивления  $\xi/\xi_{\text{пл}}$  достигается при  $t/D_g = 10$ , причем максимум  $Nu/Nu_{\text{пл}}$  не зависит от формы турбулизатора, а максимум  $\xi/\xi_{\text{пл}}$  сильно зависит (он минимален при плоской форме турбулизатора).

Проведенный анализ позволил выбрать рациональный метод интенсификации теплообмена в каналах любого поперечного сечения и разработать способы его реализации. Для трубчатых теплообменников аппаратов в работе [14] предложен следующий метод интенсификации теплообмена. На наружной поверхности теплообменных труб накаткой наносят периодически расположенные колыцевые канавки (рис. 39). При этом на внутренней поверхности труб образуются колыцевые диафрагмы с плоской конфигурацией. Диафрагмы и колыцевые канавки турбулизируют поток в пристенном слое и обеспечивают интенсификацию теплообмена как снаружи, так и внутри труб. При этом не увеличивается наружный диаметр труб, что позволяет использовать их в тесных пучках и не менять существующую технологию сборки трубчатых теплообменных аппаратов. Наружные поверхности теплообмена применяются в трубчатых аппаратах, работающих на газах и жидкостях, а также при испарении и конденсации теплоносителей.

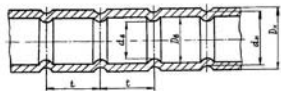
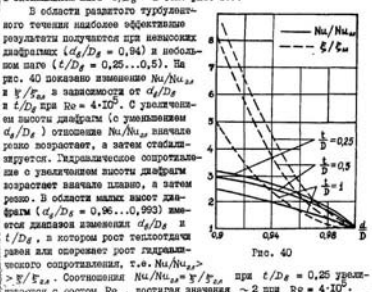


Рис. 39

Увеличение коэффициентов теплоотдачи и гидравлического сопротивления в трубах с колыцевыми цилиндрогранами по сравнению с гладкими

удобно учитывать отношениями  $Nu/Nu_{\text{пл}}$  и  $\xi/\xi_{\text{пл}}$  при одинаковых числах  $Re$  (здесь "пл" относится к гладкой трубе). При определении коэффициентов теплоотдачи в трубах с колыцевыми диафрагмами в пучках труб с колыцевыми каналами увеличение поверхности теплообмена не учитывается, т.е. плотность теплового потока рассчитывается по поверхности гладкой трубы. При определении  $Re$  и коэффициента гидравлического сопротивления  $\xi$  скорость потока рассчитывалась по продольному сечению гладких каналов.

Были найдены оптимальные параметры турбулизаторов. Установлено, что отрывные зоны как источники захвата структур формируют неустойчивость вязкостных течений, расширяя тем самым переходную область ( $Re = 2000..5000$ ), в которой достигаются наиболее эффективные соотношения между ростом коэффициентов теплоотдачи и гидравлического сопротивления ( $Nu/Nu_{\text{пл}} = 2,63$  при  $\xi/\xi_{\text{пл}} = 2,85$ ). На основе выявленного механизма взаимодействия искусственных турбулизаторов с потоком в области перехода и слаборазвитой турбулентности установлено, что радиальная интенсификация достигается в этих условиях при достаточно больших высотах диафрагм ( $d_g/D_g = 0,92$ ) в оптимальном шаге  $t/D_g = 1$  (см. рис. 39).



Увеличение коэффициентов теплоотдачи и гидравлического сопротивления в трубах с колыцевыми цилиндрогранами по сравнению с гладкими

Теоретический анализ структуры турбулентных течений в каналах и отрывной зоне как источника увеличения турбулентности в потоке, а также экспериментальные исследования турбулентности в каналах различного поперечного сечения позволили обнаружить признаком в качестве научного открытия неизвестную ранее закономерность изменения теплоотдачи на стенах каналов с дискретной турбулизацией потока при вынужденной конвекции, заключающуюся в том, что в определенном диапазоне соответствующих размеров и расположений турбулизаторов рост теплоотдачи больше роста гидравлического сопротивления по сравнению с аналогичными гладкими каналами [16]. Использование практически реализуемого соотношения  $Nu/Nu_{\text{ст}} < \xi/k$ , позволяет при заданных значениях тепловой мощности и гидравлического сопротивления теплообменника уменьшить не только объем аппарата, но и площадь его поперечного сечения.

Применение данного метода интенсификации позволяет уменьшить объем теплообменного аппарата примерно в два раза при неизменных значениях тепловой мощности и мощности на дроссель теплоносителя.

Значительный эффект наблюдается в переходной области. При этом объем теплообменного аппарата может быть уменьшен в 2,5 раза.

Область с  $Nu/Nu_{\text{ст}} > \xi/k$  имеет место и при продольном обтекании пучков труб с колышевыми каналами, вплоть до  $Nu/Nu_{\text{ст}} = 1,4...1,5$  при относительном шаге размещения труб в пучке  $S/D_{\text{ст}} = 1,2$ . При этом объем аппарата может быть снижен на одну треть. Накатка труб с различными соотношениями между глубиной каналов снаружи и высотой диафрагм внутри труб позволяет получить оптимальную интенсификацию теплоотдачи по объему поверхности теплообмена при различных шагах размещения труб в пучке ( $S/D_{\text{ст}} = 1,05...1,5$ ).

Праведем некоторые расчетные рекомендации.

I. Опытные данные по средней теплоотдаче при нагревании и охлаждении газов обобщаются следующими зависимостями:

при  $d_{\delta}/D_{\text{ст}} = 0,88...0,98$ ,  $t/D_{\text{ст}} = 0,25...0,8$

$$\frac{Nu}{Nu_{\text{ст}}} = \left[ f + \frac{lg Re_f - 4,6}{7,45} \right] \left\{ 3 - 2 \exp \left[ \frac{-18,2(t-d_{\delta}/D_{\text{ст}})^{1/3}}{(t/D_{\text{ст}})^{0,286}} \right] \right\}; \quad (184)$$

при  $d_{\delta}/D_{\text{ст}} = 0,88...0,98$ ,  $t/D_{\text{ст}} = 0,8...2,5$

$$\frac{Nu}{Nu_{\text{ст}}} = \left[ f + \frac{lg Re_f - 4,6}{30} \right] \left[ \left( 3,33 \frac{t}{D_{\text{ст}}} - 16,33 \frac{d_{\delta}}{D_{\text{ст}}} + (7,33 - 3,33 \frac{t}{D_{\text{ст}}}) \right) \right]; \quad (185)$$

при  $d_{\delta}/D_{\text{ст}} = 0,90...0,97$ ,  $t/D_{\text{ст}} = 0,5...10$

$$\frac{Nu}{Nu_{\text{ст}}} = \left[ f + \frac{lg Re_f - 4,6}{7,45} \right] \left[ \frac{1,14 - 0,28 \sqrt{f - d_{\delta}/D_{\text{ст}}}}{1,14} \right] \exp \left[ \frac{\theta(t-d_{\delta}/D_{\text{ст}})}{(t/D_{\text{ст}})^{0,286}} \right]. \quad (186)$$

В (184) и (185)  $Re_f$  определяется по среднемассовой температуре потока, а  $Re_{\text{ст}}$  в (186) – по средней температуре стенки.

В (184) – (186)  $Nu_{\text{ст}}$  находится по следующим формулам:

при нагревании газов

$$Nu_{\text{ст}} = 0,0207 Re^{0,8} Pr^{0,43}, \quad (187)$$

где определяющей является средняя по длине трубы температура стенки, или

при охлаждении газов

$$Nu_{\text{ст}} = 0,0192 Re^{0,8} Pr^{0,43}, \quad (188)$$

где определяющей является средняя по длине трубы температура стенки, или

$$Nu_{\text{ст}} = 0,018 Re^{0,8}, \quad (189)$$

где определяющей является средняя по длине трубы температура газов.

Формулы (184) – (186) справедливы при  $Re = 10^4...4 \cdot 10^5$ .

2. Средняя теплоотдача для капельных жидкостей при  $t/D_{\text{ст}} = 0,5$  и  $d_{\delta}/D_{\text{ст}} = 0,94$  ( $Re \gg Re^*$ ) составляет

$$\frac{Nu}{Nu_{\text{ст}}} = \left[ 100 \left( 1 - \frac{d_{\delta}}{D_{\text{ст}}} \right) \right]^{0,445}, \quad (190)$$

где

$$Nu_{\text{ст}} = 0,0216 Re^{0,8} Pr^{0,445}. \quad (191)$$

Здесь определяющей является среднемассовая температура жидкости по длине трубы.

Значение  $Re^*$ , при котором рост  $Nu/Nu_{\text{ст}}$  с увеличением  $Re$  прекращается, находится по формуле

$$Re^* = \frac{3/50}{\left( 1 - \frac{d_{\delta}}{D_{\text{ст}}} \right)^{1/14} Pr^{0,57}}. \quad (192)$$

3. Опытные данные по коэффициентам гидравлического сопротивления обобщаются с точностью  $\pm 12\%$  при  $Re = 10^4...4 \cdot 10^5$  следующими зависимостями:

при  $d_{\delta}/D_{\text{ст}} = 0,90...0,97$ ,  $t/D_{\text{ст}} = 0,5...10$

$$\frac{\xi}{\xi_{\text{ст}}} = \left[ f + \frac{100(lg Re_f - 4,6)(-d_{\delta}/D_{\text{ст}})^{1/6}}{\exp(t/D_{\text{ст}})^{2/3}} \right] \exp \left[ \frac{25(t-d_{\delta}/D_{\text{ст}})^{4/3}}{(t/D_{\text{ст}})^{2/3}} \right]; \quad (193)$$

при  $d_g/D_g = 0,68 \dots 0,98$ ,  $t/D_g = 0,5$

$$\frac{Y}{F_{0,g}} = \left[ f + \frac{U_f^2 Re - 4,6}{3,4 \frac{Re}{Dg} + 6} \right] \left[ t,3 - \sqrt{\frac{d_g}{D_g} - 0,03} \right] \exp \left[ 20,0 \left( t - \frac{d_g}{D_g} \right)^{0,6} \right]; \quad (I94)$$

при  $d_g/D_g = 0,90 \dots 0,98$ ,  $t/D_g = 0,25$

$$\frac{Y}{F_{0,g}} = \left[ f + \frac{(q Re - 6,6)}{6 \left( \frac{Re}{Dg} \right)^{0,6}} \right] \left[ 3 \frac{d_g}{D_g} - 2 \right] \left( 2,5 - 1,5 \frac{d_g}{D_g} \right) \exp \left[ r_f \left( t - \frac{d_g}{D_g} \right)^{0,65} \right]. \quad (I95)$$

В (I93)  $F_{0,g}$  определяется по формуле

$$F_{0,g} = \frac{0,316}{Re^{0,25}} \left( \mu_w / \mu_g \right)^n, \quad (I96)$$

где  $n = 0,14$  при нагревании газов;  $n = 0$  при охлаждении газов;  $n = 1/3$  при нагревании жидкостей.

В (I94) и (I95)  $F_{0,g}$  определяются по формуле

$$F_{0,g} = 0,185 Re^{-0,2}, \quad (I97)$$

полученной в условиях изотермического течения и охлаждения газов.

4. Влияние неизотермичности потока на коэффициент гидравлического сопротивления в трубах с турбулизаторами иное, чем в гладких трубах. Для накатанных труб зависимость показателя степени при  $\mu_w / \mu_g$  от высоты дифрагм при  $t/D_g = 0,5$  можно представить соотношением

$$n/n_0 = (d_g/D_g)^{26,4}, \quad (I98)$$

где  $n_0 = 1/3$  — показатель степени для гладкой трубы.

С уменьшением шага накатки плавким неизотермичность снижается, и закон сопротивления приближается к автомодельному. При  $d_g/D_g = 0,94$  зависимость  $n$  от  $t/D_g$  будет

$$n/n_0 = 10^{-\frac{6,02}{17,84} (t/D_g - \lg t/D_g)} \quad (I99)$$

5. В общем случае коэффициент гидравлического сопротивления при неизотермическом турбулентном течении жидкостей в трубах с насадками турбулизаторами можно представить следующим образом:

$$Y = Y_0 (\mu_w / \mu_g)^n \quad (200)$$

или

$$Y/F_{0,g} = F_0 / F_{0,g} = (\mu_w / \mu_g)^{n_0(n/n_0 - f)}, \quad (201)$$

где  $Y/F_{0,g} = f(d_g/D_g, t/D_g, Re)$  согласно (I93) — (I95), а  $n/n_0 = f_0(d_g/D_g, t/D_g)$  определяется как произведение (I98) на (I99).

76

Отношение  $Nu/Nu_{0,g}$  и  $Y/Y_{0,g}$  в зависимости от  $Re$  в  $d/D$ , полученные при течении воздуха в трубах

$d/D$	$t/D = 0,25$					
	$Re=10^4$	$Re=2 \cdot 10^4$	$Re=4 \cdot 10^4$	$Re=10^5$	$Re=2 \cdot 10^5$	$Re=4 \cdot 10^5$
1	1	1	1	1	1	1
0,90	1,28	1,45	1,30	1,32	1,35	1,20
0,98	1,53	1,80	1,55	1,72	1,63	1,62
0,97	1,80	2,35	1,82	2,20	1,85	2,15
0,96	1,98	2,84	2,03	2,76	2,08	2,68
0,95	2,14	3,28	2,20	3,30	2,28	3,32
0,94	2,37	3,80	2,32	3,85	2,43	4,10
0,93	2,43	4,20	2,50	4,36	2,58	5,20
0,92	2,54	4,70	2,64	5,00	2,68	6,24
0,91	2,60	5,20	2,75	5,35	2,77	7,35
0,90	2,65	5,80	2,87	6,35	2,83	8,22
0,88	2,63	6,32	2,85	7,10	2,80	8,80
0,86	—	—	2,87	—	2,80	—
			—	2,82	—	2,96
				—	—	3,16

$d/D$	$t/D = 0,5$					
	$Re=10^4$	$Re=2 \cdot 10^4$	$Re=4 \cdot 10^4$	$Re=10^5$	$Re=2 \cdot 10^5$	$Re=4 \cdot 10^5$
1	1	1	1	1	1	1
0,90	1,23	1,34	1,28	1,12	1,22	1,16
0,98	1,50	1,68	1,52	1,40	1,43	1,40
0,97	1,70	2,04	1,75	1,70	1,63	1,60
0,96	1,88	2,40	1,92	1,86	1,89	1,84
0,95	2,03	2,90	2,08	2,02	2,06	2,04
0,94	2,26	3,45	2,26	3,60	2,24	3,89
0,93	2,32	4,00	2,40	4,50	2,38	4,65
0,92	2,40	4,70	2,54	5,30	2,50	5,92
0,91	2,46	5,30	2,60	5,45	2,49	6,16
0,90	2,54	6,30	2,69	7,20	2,68	8,56
0,88	2,58	7,30	2,70	8,50	2,70	9,93
0,86	2,58	8,50	2,72	9,23	2,70	10,11

$d/D$	$t/D = 1,0$					
	$Re=10^4$	$Re=2 \cdot 10^4$	$Re=4 \cdot 10^4$	$Re=10^5$	$Re=2 \cdot 10^5$	$Re=4 \cdot 10^5$
1	1	1	1	1	1	1
0,99	1,13	1,05	1,13	1,07	1,15	1,08
0,98	1,27	1,10	1,25	1,15	1,30	1,16
0,97	1,41	1,15	1,40	1,20	1,45	1,27
0,96	1,57	1,25	1,55	1,30	1,51	1,35
0,95	1,69	1,40	1,65	1,46	1,73	1,52
0,94	1,81	1,80	1,82	1,72	1,86	1,97
0,93	1,93	2,44	1,95	2,08	1,97	2,94
0,92	2,06	3,03	2,09	2,13	3,56	2,21
0,91	2,17	3,72	2,21	3,76	2,23	4,30
0,90	2,27	4,32	2,38	4,80	2,33	5,50
0,89	2,38	5,62	2,48	5,90	2,45	6,90
0,88	2,48	7,00	2,60	7,39	2,58	8,25
0,87	2,54	10,00	2,70	9,95	2,66	10,00
0,86	2,62	—	2,81	—	2,73	—
			—	2,72	—	2,73
				—	—	—

6. В таблице приведены опытные данные, характеризующие  $\xi/\xi_{\text{ст}}$  и  $Nu/Nu_{\text{ст}}$ , по которым можно рассчитать интенсификацию теплообмена при течении газов в каналах.

7. Теплоотдачу и гидравлическое сопротивление продольно симметричных пучков труб при  $S/D_h = 1,10 \dots 1,5$ ,  $h/d_{\text{ст}} = 0 \dots 0,1$ ,  $t/d_{\text{ст}} = 0,25 \dots 2$  можно определить по следующим формулам:

при  $Re < Re_1$

$$Nu/Nu_{\text{ст}} = f_1 \quad (202)$$

при  $Re_1 < Re < Re_2$

$$\frac{Nu}{Nu_{\text{ст}}} = f + 0,6 \frac{\operatorname{tg} Re - \operatorname{tg} Re_1}{\operatorname{tg} Re_2 - \operatorname{tg} Re_1} \left[ f - \exp \left( -35,8 \frac{h}{d_{\text{ст}}} \right) \right] \left( f - 0,35 \frac{t}{d_{\text{ст}}} \right), \quad (203)$$

при  $Re_2 < Re < 10^5$

$$\frac{Nu}{Nu_{\text{ст}}} = f + 0,6 \left[ f - \exp \left( -35,8 \frac{h}{d_{\text{ст}}} \right) \right] \left( f - 0,35 \frac{t}{d_{\text{ст}}} \right); \quad (204)$$

при  $Re < 3,1 \cdot 10^3$

$$\xi/\xi_{\text{ст}} = f, \quad (205)$$

при  $Re = 3,1 \cdot 10^3 \dots 2 \cdot 10^4$

$$\frac{\xi}{\xi_{\text{ст}}} = f + \left\{ 7,55 \frac{h}{d_{\text{ст}}} (\operatorname{tg} Re - 3,5) - \right.$$

$$\left. - 0,035 \sin \left[ \left( f - 22,44 \frac{h}{d_{\text{ст}}} \right) \pi \right] \right\} \left( f,4 - 0,488 \frac{t}{d_{\text{ст}}} \right); \quad (206)$$

при  $Re = 2 \cdot 10^4 \dots 10^5$

$$\frac{\xi}{\xi_{\text{ст}}} = f + \left\{ 3,2f \frac{h}{d_{\text{ст}}} (\operatorname{tg} Re - 2,27) + \right.$$

$$\left. + 0,09 (\operatorname{tg} Re - 4,3) \sin \left[ \left( f - 22,44 \frac{h}{d_{\text{ст}}} \right) \pi \right] \right\} \left( f,4 - 0,488 \frac{t}{d_{\text{ст}}} \right). \quad (207)$$

Из (202) – (204) видно, что при  $Re < Re_1$  пакетка не влияет на теплоотдачу, а при  $Re > Re_2$  интенсификация не зависит от  $Re$ . Для определения  $Re_1$  и  $Re_2$  можно использовать следующие формулы:

$$Re_1 = \left( 3,6 - 35,8 \frac{h}{d_{\text{ст}}} \right) 10^4; \quad (208)$$

$$Re_2 = \left( 4,7 - 18,85 \frac{h}{d_{\text{ст}}} \right) 10^4. \quad (209)$$

В (202) – (209)  $h$  – глубина канавки;  $d_{\text{ст}}$  – эквивалентный диаметр пучка при бесконечно большом числе труб;  $t$  – шаг размещения канавок.

Число  $Nu_{\text{ст}}$  в (202) – (204) определяется по (174). В (205) – (207)  $\xi_{\text{ст}}$  находится по (172) при этом  $\xi_f$  определяется по (78).

## ЛИТЕРАТУРА

1. Основы теплообмена в авиационной и ракетно-космической технике/ Под ред. В.К. Конкина. - М.: Машиностроение, 1975. - 624 с.
2. Дрейфер Г.А. Конвективный теплообмен в каналах: Учебное пособие. - М.: МАИ, 1984. - 77 с.
3. Теплообмен в энергетических установках космических аппаратов/ Б.М. Галицкий, Е.И. Данилов, Г.А. Дрейфер, В.К. Конкин. - М.: Машиностроение, 1975. - 272 с.
4. Гидродинамика и теплообмен в атомных энергетических установках: Основы расчета/ В.И. Субботин, М.Х. Ибрагимов, А.Н. Ушаков, В.П. Бодков, А.В. Куков, Е.С. Ерьев. - М.: Атомиздат, 1975. - 408 с.
5. Петухов Б.С., Генин Л.Г., Ковалев С.А. Геомассообмен в ядерных энергетических установках. - М.: Энергоатомиздат, 1986. - 472 с.
6. Галин Н.М., Кириллов Н.Л. Термомассообмен (в ядерной энергетике). - М.: Энергоатомиздат, 1987. - 376 с.
7. Конкин В.К., Калкин Э.К. Теплообменные аппараты и теплоносители: Теория и расчет. - М.: Машиностроение, 1970. - 199 с.
8. Абрамович Г.Н. Прикладная газовая динамика. - М.: Наука, 1976. - 888 с.
9. Неstationарный теплообмен/ В.К. Конкин, Э.К. Калкин, Г.А. Дрейфер, С.А. Ярхо. - М.: Машиностроение, 1973. - 328 с.
10. Дрейфер Г.А., Кузьминов В.А. Расчет разогрева и охлаждения трубопроводов. - М.: Машиностроение, 1977. - 128 с.
11. Методы расчета сопряженных задач теплообмена/ Э.К. Калкин, Г.А. Дрейфер, В.В. Косткин, И.И. Берлин. - М.: Машиностроение, 1983. - 232 с.
12. Исаченко В.П., Осколова В.А., Сукоимял А.С. Теплопередача. - М.: Энергоиздат, 1981. - 416 с.
13. Петухов Б.С. Теплосбоем и сопротивление при ламинарном течении жидкости в трубах. - М.: Энергия, 1967. - 412 с.
14. Калкин Э.К., Дрейфер Г.А., Ярхо С.А. Интенсификация теплообмена в каналах/ 2-е изд. - М.: Машиностроение, 1981. - 205 с.
15. Кукаускас А.А. Конвективный перенос в теплообменниках. - М.: Наука, 1982. - 472 с.
16. Научное открытие. Дип. № 242. Закономерность изменения теплоотдачи на стенах каналов с дискретной турбулизацией потока при вынужденной конвекции/ Э.К. Калкин, Г.А. Дрейфер, С.А. Ярхо, Г.И. Воронин, Е.В. Дубровский. - Опубл. ОБ.03.81, Еки. № 35.

## ОГЛАЗЕНЕ

Введение . . . . .	3
I. Дифференциальные уравнения и граничные условия для конвективного теплообмена . . . . .	6
2. Одномерное описание течения и теплообмена в каналах.	
Коэффициенты теплоотдачи и гидравлического сопротивления . . . . .	12
3. Особенности теплообмена и гидродинамики при течении теплоносителя в каналах. . . . .	18
4. Общий вид кратеральных уравнений для конвективного теплообмена в каналах. Определенный размер. Определенная температура. . . . .	20
5. Гидравлическое сопротивление при изотермическом течении теплоносителя в трубах . . . . .	26
6. Теплообмен и гидравлическое сопротивление при неизотермическом гидродинамически стабилизированном течении теплоносителя в трубах . . . . .	31
7. Теплообмен на начальном участке труб . . . . .	41
8. Теплообмен в области перехода от ламинарного режима течения к турбулентному . . . . .	46
9. Бестационарный конвективный теплообмен в трубах . . . . .	49
10. Теплообмен и гидравлическое сопротивление в окружках каналов. . . . .	59
11. Теплообмен при совместном влиянии свободной и вынужденной конвекции в трубах . . . . .	67
12. Интегрирование теплообмена в каналах . . . . .	70
Литература . . . . .	80

Тем. планы 1989, под. I29

Дрейзер Генрих Александрович

ОСНОВЫ КОНВЕКТИВНОГО ТЕПЛООБМЕНА В КАНАЛАХ

Редактор Р.М. Белоzerova

Техн. редактор Н.Б. Каражина

Корректор А.А. Степанова

Л 26807. Подписано к печати 24.04.89

Бум. офсетная. Формат 60x84 I/16. Печать офсетная

Печ. л. 4,88 ; уч.-изд. л. 5,00. Тираж 1000

Зак. № 2411. Цена 15 к.

Типография издательства МАИ

120471, Москва, Волоколамское шоссе, 4